

MINERAIS DO PARANÁ S.A. - MINEROPAR

GEOLOGIA E POTENCIALIDADES ECONOMICAS

DA SEQUÊNCIA ANTINHA

MARCOS VITOR FABRO DIAS

OSCAR SALAZAR JUNIOR

**CURITIBA
1983**

MINEIRAS DO PARANÁ S.A. - MINERAÇÃO

GERÊNCIA DE PROSPECÇÃO

GEOLOGIA E POTENCIALIDADES ECONÔMICAS DA SEQUÊNCIA ANTINHA

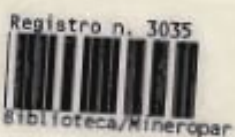
RELATÓRIO DE FASE
Agosto - 1983

27/5/83 (8/6/82A)
D 541

(Anexo 6a)

J 983

MARCOS VITOR FABRO DIAS
OSCAR SALAZAR JÚNIOR



MINEROPAR
Minerais do Pará S.A.
BIBLIOTECA
REG. 3035 DATA 13/03/87

Í N D I C E

I - INTRODUÇÃO

1.1 - Apresentação.....	01
1.2 - Objetivos.....	01
1.3 - Localização, Acesso e Situação Legal.....	02
1.4 - Equipe Técnica e Dados de Produção.....	02

II - CONTEXTO GEOLÓGICO REGIONAL..... 06

III - GEOLOGIA DA ÁREA

3.1 - Descrição das Unidades Litoestratigráficas

3.1.1 - Formação Água Clara (p _{EAC}).....	07
3.1.2 - Formação Votuverava (p _{EV}).....	07
3.1.3 - Seqüência Antinha (p _{ESA}).....	08
3.1.3.1 - Unidade A (p _{esaA}).....	08
3.1.3.2 - Unidade B (p _{esaB}).....	10
3.1.3.3 - Unidade C-Carbonáтика(p _{esaC})	11
3.1.3.4 - Unidade D-Vuturuvu (p _{esaD}).	12
3.1.4 - Complexo Granítico Três Córregos (p _{egTC}).....	12
3.1.5 - Unidade Conglomerática Arcosiana (ε_{ocg}).....	13
3.1.6 - Intrusivas Básicas Mesozóicas.....	13
3.2 - Estratigrafia.....	14
3.3 - Considerações sobre o Ambiente de Sedimentação	16
3.4 - Características Morfo-Estruturais.....	17
3.5 - Aspectos Estruturais.....	19
3.6 - Metamorfismo.....	21

IV - POTENCIALIDADES ECONÔMICAS DA ÁREA

4.1 - Avaliação Geológica.....	25
4.2 - Avaliação Geoquímica.....	28

V - CONCLUSÕES E RECOMENDAÇÕES

5.1 - Conclusões.....	32
5.2 - Recomendações.....	33

BIBLIOGRAFIA.....	35
--------------------------	----

ANEXOS.....	38
--------------------	----

I - INTRODUÇÃO

I - INTRODUÇÃO

1.1 - Apresentação

Neste trabalho são apresentados os resultados obtidos na avaliação da Seqüência Antinha pelo Setor de Rochas Metamórficas e posteriormente pela Gerência de Prospecção da MINEROPAR. As atividades compreenderam mapeamento geológico (escala 1:50.000) e amostragem geoquímica (sedimento de corrente e minerais pesados), numa área de aproximadamente 200 km², na qual predominam rochas metassedimentares do Grupo Açungui e da Formação Água Clara.

Os dados de sedimento de corrente e concentrado de bateia foram interpretados pela Gerência de Apoio Técnico, constando de relatório específico elaborado pelo geoquímico Maurício Moacyr Ramos.

1.2 - Objetivos

Os objetivos do Prospecto Antinha foram a confirmação e avaliação dos dados inicialmente obtidos pela MINEROPAR, com ênfase especial à prospecção de jazimentos estratiformes de metais básicos.

Pontes (1981), em programa de prospecção da Formação Água Clara reconheceu este conjunto litológico ao qual denominou Seqüência Antinha. Além das características geológicas, que considerou promissoras, o referido geólogo registra uma ocorrência de malaquita no Rio Curriolinha.

Na mesma fase, os resultados de geoquímica em escala regional (Ramos, 1981) identificaram zonas anômalas para Cu, As, Fe e Ni (sedimento de corrente) e Pb e Au (concentrando de bateia), e valores elevados para Pb, Zn, Cu, Ni e Co em sedimento de corrente. Dentre as conclusões, Ramos (op. cit.) destaca que os teores médios mais elevados foram observados nas amostras desta seqüência.

Posteriormente, com as atividades de prospecção a nível de semidetalhe na região de São Silvestre (Ramos e Licht,

1982), a amostragem avançou sobre os limites da Seqüência Antinha. Com estas amostras definiram-se zonas anômalas para Pb, Zn, Co, As e Cu (sedimento de corrente), e ouro em concentrado de bateia.

Em vista destes resultados, os trabalhos da atual fase iniciaram-se no Setor de Rochas Metamórficas no segundo semestre de 1982, com mapeamento geológico e geoquímica a nível de semidetalhe. Posteriormente, com a reformulação da área técnica, este prospecto passou à Gerência de Prospecção, redefinindo-se o seu cronograma até julho de 1983 para avaliação desta etapa.

1.3 - Localização, Acesso e Situação Legal

A área pesquisada situa-se nos Municípios de Rio Branco do Sul, Almirante Tamandaré e Campo Largo, a Noroeste de Curitiba (fig. 1).

A partir da Capital do Estado pode-se atingir a parte Sul através da Estrada do Cerne (PR-090), até o km 41, tomando-se ligação secundária à direita até a localidade de Freguesia dos Laras. Via Rio Branco do Sul (Rodovia dos Mínérios - PR-092), segue-se até Itaperuçu, onde está localizada uma fábrica de cimento da Votorantim. Neste ponto pode-se tomar a estrada Rio Branco do Sul - Canelão, alcançando-se a área em sua parte central, ou seguir em direção a Cerro Azul e Açungui, atingindo-se o seu extremo Norte.

Esta seqüência de rochas encontra-se quase totalmente coberta por requerimentos de pesquisa da MINEROPAR (fig. 2), de n°s 820.350 a 820.361, de 1982.

1.4 - Equipe Técnica e Dados de Produção

O Prospecto Antinha foi desenvolvido com a participação da seguinte equipe técnica:

Geólogos: Marcos Vitor Fabro Dias e Oscar Salazar Júnior
Técnico em Mineração: Fernando Barbosa dos Santos

Prospector II: Paulo Augustynczyk

Estagiários de Geologia: Manoel Trombini Garrido e Mário Gonçalves dos Santos

Os estudos petrográficos foram realizados pela petrógrafa Rosa Maria de Souza (GATE) e pelo Prof. José M. V. Coutinho - USP (04 amostras), conforme laudos anexos.

Os trabalhos de planejamento e interpretação da geoquímica foram realizados pelo geoquímico Maurício Moacyr Ramos, da Gerência de Apoio Técnico.

Agradecemos a colaboração e participação de todos os colegas e, em especial, dos geólogos João Batista Pontes e Paulo César Soares, pelas produtivas discussões e sugestões.

Dados de Produção:

- Mapeamento geológico (1:50.000): 200 km²
- Afloramentos descritos: 146
- Dias de campo: 65
- Amostras de rocha: 39
- Análises químicas: 16
- Análises petrográficas: 23
- Amostras de sedimentos de corrente: 418
- Amostras de concentrados de bateia: 103

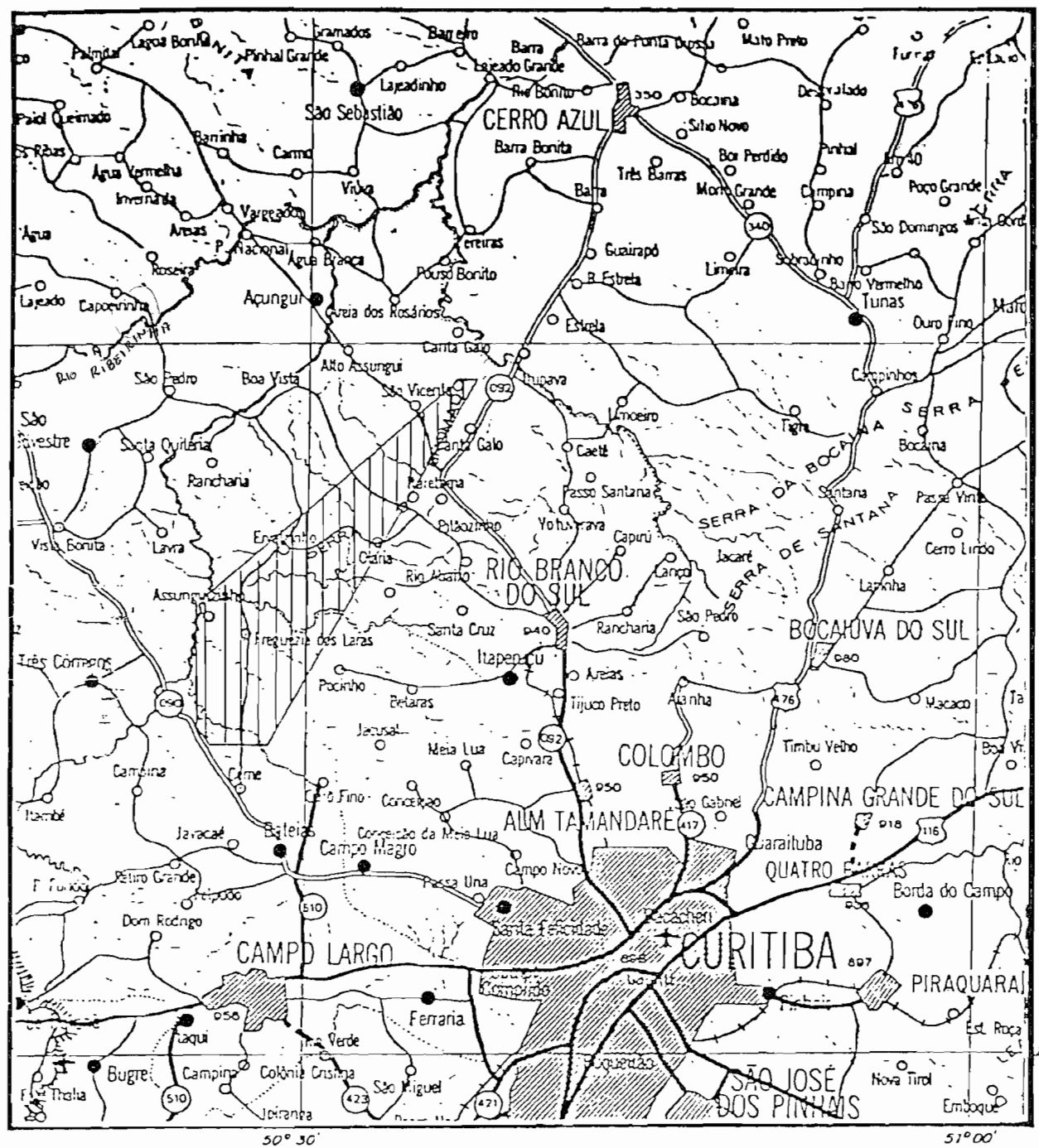


FIG 3 MAPA DE LOCALIZAÇÃO (ITC, 1980)

ESCALA 1:500 000

LEGENDA

- REGIÃO PESQUISADA
- CAPITAL DO ESTADO E CIDADES PRINCIPAIS
- DISTRITO
- POVOADO
- ESTRADAS PAVIMENTADAS (FEDERAL, ESTADUAL)
- ESTRADA PERMANENTE
- ESTRADA SECUNDÁRIA
- DRENAGEM



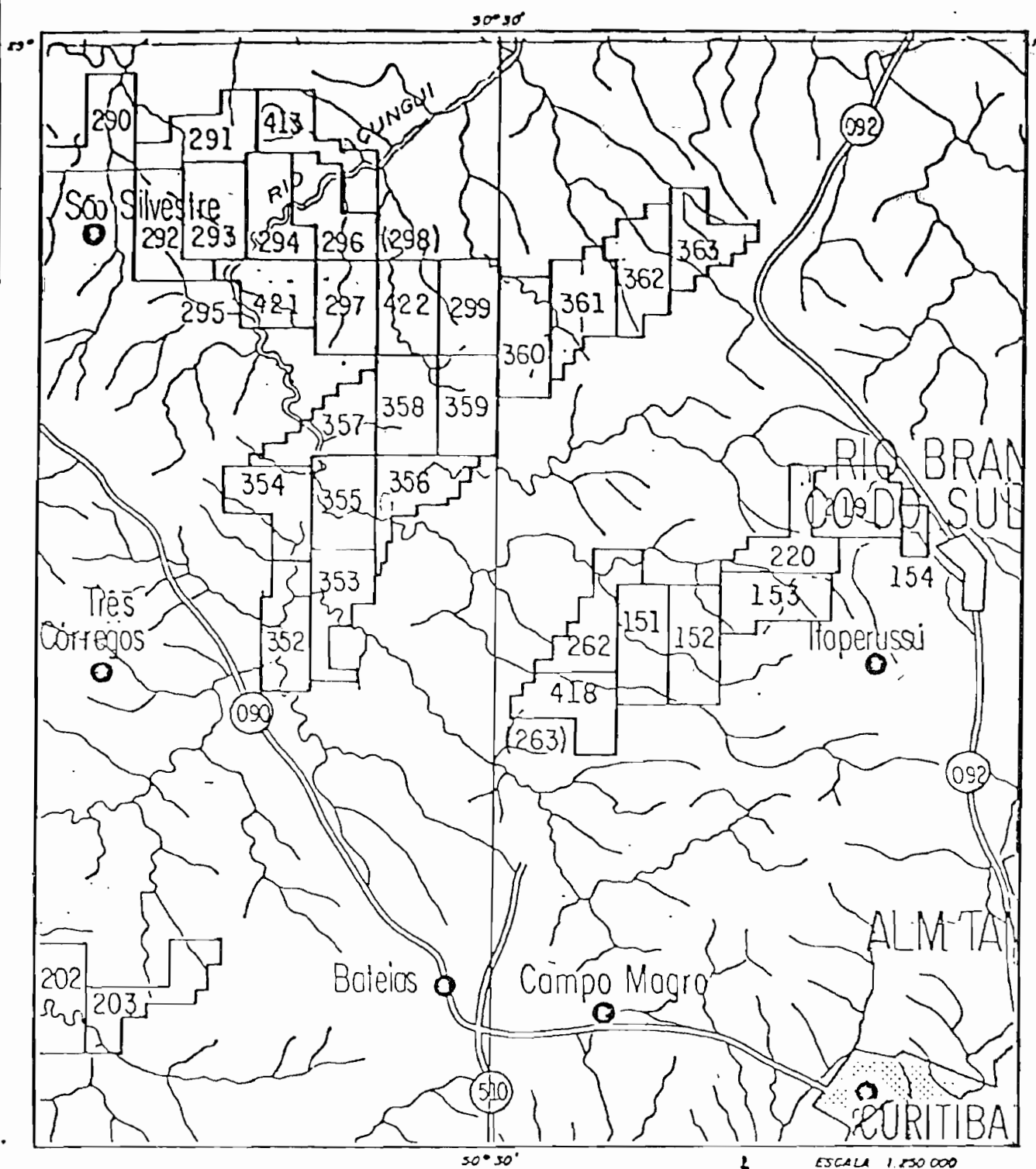


FIG. 2 - SITUAÇÃO LEGAL (MAPA ÍNDICE DOS DIREITOS MINERÁRIOS, MINEROPAR)

Nº	PROCESSO DNPM
352 -	620.350/82
353 -	620.351/82
354 -	620.352/82
355 -	620.353/82
356 -	620.354/82
357 -	620.355/82

Nº	PROCESSO DNPM
358 -	820.356/82
359 -	820.357/82
360 -	820.358/82
361 -	820.359/82
362 -	820.360/82
363 -	820.361/82
299 -	820.844/81 (Alvorô Publicado)

II - CONTEXTO GEOLÓGICO REGIONAL

II - CONTEXTO GEOLÓGICO REGIONAL

A área em estudo insere-se na Faixa de Dobramentos Apiaí, dentro da Região de Dobramentos Sudeste (Hasui, et al., 1975). Ressalta-se a estruturação em blocos, limitados por grandes falhas transcorrentes (Hasui e Sadowski, 1976), e a existência de mega-anticlinórios e megassinclinórios (Hasui et al., 1980). Nesta concepção, a área de trabalho está situada no Megassinclinório Ribeira, pareado ao Geanticlínneo Três Córregos.

Os metassedimentos incluídos na Faixa Apiaí eram considerados como predominantemente do Grupo Açungui. Porém os trabalhos mais recentes têm redefinido estes conjuntos litológicos, desde a atuação da Comissão da Carta. De início o Grupo Açungui incluía as formações Setuva, Capiru, Votuverava e Água Clara (Marini, et al., 1967). Posteriormente foram reconhecidas unidades de ciclos geotectônicos diferentes, desde Marini (1970), separando a Formação Setuva das restantes, até Veiga e Salomão (1981), com a Seqüência Perau, e Pontes (1981), com a Formação Água Clara. Portanto, os conhecimentos atuais definem dois amplos conjuntos litológicos (excetuando-se o embasamento). Um inferior, chamado por Fritzsons et al. (1982) de Grupo Setuva, provavelmente do Pré-Cambriano Médio, e o Grupo Açungui, com as Formações Capiru, Votuverava e Itaiacoca, de evolução Proterozóica Superior.

No final do Ciclo Brasiliano ocorreu a intrusão dos corpos graníticos, circunscritos, alóctones (Wernick e Penalva, 1978), destacando-se os batólitos Cunhaporanga e Três Córregos.

A Formação Camarinha, melhor estudada por Muratori et al. (1967), foi situada no Eo-Paleozóico e considerada como uma seqüência molássica relacionada a orogênese do Grupo Açungui.

Finalmente, devem-se considerar as intrusivas básicas Mesozóicas, com o alojamento de diques de diabásio e diortito-pórfiro de direção NW.

III - GEOLOGIA DA ÁREA

III - GEOLOGIA DA ÁREA

3.1 - Descrição das Unidades Litoestratigráficas

3.1.1 - Formação Água Clara (pεAC)

Esta formação foi definida por Marini (1970), sendo posteriormente considerada como basal em relação ao Grupo Açungui e subdividida por Pontes (1981) em dois fácies: Serrinha (carbonático) e São Silvestre (vulcano-sedimentar). Estes fácies afloram nas porções Oeste e Leste da área, respectivamente.

Por não ser objeto deste trabalho, as rochas desta formação só foram verificadas para se obter os limites da Seqüência Antinha.

Em alguns pontos observados, é nítida a interdigitação e interacamamento entre mica-xistos e mármore (OS-197), o que demonstra a relação gradacional entre os fácies de Pontes (op. cit.).

Uma associação litológica para esta formação pode ser dada (nos pontos visitados) por: mármore calcíticos (puros ou impuros) cristalinos, foliados, às vezes bandados e dobrados isoclinalmente; calco xistos; (carbonato-quartzo, sericita, clorita, turmalina e opacos - lam. OS-177); clorita-xistos com níveis enriquecidos em manganês e às vezes com pirita disseminada; além de xistos carbonosos.

A ocorrência de metabasito foi verificada em um único ponto e caracterizada microscopicamente por: anfibólio, plagioclásio saussuritizado, epidoto e zoisita além de sinais de cataclase (lam. OS-180). Este corpo é intrusivo (anterior à última fase de metamorfismo), uma vez que provoca efeitos termais nos xistos encaixantes, desenvolvendo muscovita disposta aleatoriamente.

3.1.2 - Formação Votuverava (pεV)

Esta formação (Bigarella e Salamuni, 1958) aflora na parte Leste da área e foi observada somente nas

proximidades do seu limite de afloramento, qual seja, a falha de Morro Agudo (CPRM, 1977).

Nesta porção é representada quase que exclusivamente pelos termos filíticos, que possuem uma homogeneidade ímpar, com intenso desenvolvimento de clivagem filítica (assim denominada uma clivagem ardósiana muito marcante).

Secundariamente ocorrem camadas centimétricas de metarenito grosseiro (microconglomerático), maturo e de seleção moderada, composto quase exclusivamente por grânulos de quartzo.

São nestas interfácies (filito/microconglomerado) que é possível se observar uma foliação S_1 paralela a S_0 .

Os filitos quando frescos possuem coloração esverdeada e alterados cor amarronada. É na passagem da rocha sã para a alterada que se observa melhor a clivagem ardósiana (S_2), acompanhada da filítica (S_1).

3.1.3 - Seqüência Antinha (pesa)

A Seqüência Antinha é representada por quatro unidades, a saber: a Unidade A (pesaA) de provável ambiente redutor e a Unidade B (pesaB), provavelmente oxidante, a Oeste; a Unidade C (carbonática) e a Unidade D (Vuturuvu), a Leste.

A Oeste desta seqüência, e em contato por falha, afloram rochas da Formação Água Clara, bem como na porção Sudoeste e central, porém nestes casos em discordância angular e metamórfica com a mesma.

A Formação Água Clara também ocorre na porção Leste, na forma de enclave limitado por falhas (Bloco Tacaniça, de Pontes, 1981).

3.1.3.1 - Unidade A (pesaA)

Esta unidade aflora no centro da área com espessura aflorante da ordem de 3 km afinando-se

para Nordeste.

É representada essencialmente por metassiltitos rítmicos de cor cinza (pesaAI) e secundariamente por metarenitos muito finos de coloração rósea.

Na interface das Unidades A e B, por vezes ocorre uma camada de aproximadamente 200 m de espessura aflorante, constituída pela alternância rítmica de níveis siltíticos avermelhados e níveis argilosos róseos pintalgados de branco, de possível origem vulcânica (?) (pesaAIV). Esta camada apresenta níveis milimétricos de pirita hidromórfica, concordante e às vezes disseminada, com até 0,5 cm de aresta.

Em contato gradacional com esta camada ocorre um fácies de siltitos cinza escuros, maciços, com fratura conchoidal, que praticamente marca o início da Unidade A (redutora).

A camada que mais se destaca nesta unidade, e que por sua peculiaridade pode ser utilizada como guia, é a dos metassiltitos cinzas com pontuações (nódulos submilimétricos) de clorita (pesaAII). Apresenta-se intercalada com metarenito muito fino, de cor esbranquiçada, com microestratificação cruzada, acanalada (marcas de onda), e mais raramente convoluta, além de níveis decimétricos de conglomerado com aspecto brechóide, constituído por seixos de quartzito e matriz arenosa. Microscopicamente (lam. OS-88 e 124) apresenta-se como rocha bandada composta por quartzo, sericita, clorita, opacos, turmalina, zircão, apatita e nódulos de clorita de origem termal, restritos a banda de granulação mais fina. Alguns minerais de clorita e sericita encontram-se orientados segundo S_1 . Esta camada normalmente encontra-se com fraco grau de alteração, marcando as cristas presentes nesta unidade.

Outra camada ou nível bastante característico é a dos metarenitos róseos (pesaAIII) com marcante desenvolvimento de mica (muscovita). Estas micas são bem desenvolvidas nesta camada e em menor escala nas demais (inclusive na Unidade B), evidenciando um efeito termal generalizado para toda a seqüência.

Esses metarenitos hornfélscos, microscopicamente são compostos por quartzo, sericita, clorita, turmalina, apatita, opacos e porfiroblastos aleatórios de muscovita e clorita; (lam. OS-96-A, 99, 97-A e 134); é uma rocha pelítica com metamorfismo regional de grau fraco e metamorfismo termal posterior da fácie albita-epidoto-hornfels (Turner, 1968, in Girardi, 1979), dado por andalusita, clorita e muscovita.

Os metarrítmitos, resultado da interlaminação de metassiltitos cinzas e metassiltitos arenosos cinza claras a esbranquiçados afloram na maior parte desta unidade. Intercalado a esse fácie ocorrem litotipos com níveis enriquecidos em manganês.

3.1.3.2 - Unidade B (pεSaB)

Esta unidade aflora nos flancos da provável antiforme presente no centro da área, com espessura de faixas aflorantes em torno de 1 km. Aproximadamente 70% das rochas são representados pelos termos siltíticos (metassiltitos arenosos e metassiltitos), sendo o restante por termos mais grosseiros, indo de areia muito fina até seixos (metaconglomerados).

Esta unidade é constituída pela alternância das frações acima descritas, desde lamações milimétricas até bancos métricos. No geral mostra uma ritmocidade marcante. Existe uma passagem dominante gradacional entre os diversos tipos litológicos, exceção feita para os níveis conglomeráticos onde, via de regra, é abrupto tanto na base como no topo.

Os metaconglomerados são oligomíticos, com seixos centimétricos subarredondados de quartzo, que por vezes encontram-se remobilizados em veios concordantes e mais raramente discordantes.

Também ocorrem, a exemplo da Unidade Vuturuvu (D), níveis centimétricos de quartzito silicificado (ortoquartzitos).

Os metassedimentos desta unida-

de possuem coloração avermelhada quando alterados e cores esverdeadas quando sãos.

As estratificações plano paralela e gradacionais são abundantes e as cruzadas de baixo ângulo aparecem mais raramente.

Uma lente carbonática (pesaCIII), com cor cinza escura e aspecto maciço, ocorre na porção Noroeste da área. Possui relação de contato concordante e passagem gradacional com os metassedimentos da Unidade B.

3.2.3.3 - Unidade C-Carbonática (pesaC)

A unidade carbonática aflora numa faixa de direção Nordeste, com aproximadamente 2,5 km de espessura aflorante, afinando-se neste sentido.

O seu limite Sudoeste se dá em dobramento e faz contato aparentemente concordante com a Unidade B.

Os carbonatos (pesaCI) possuem coloração cinza clara a escura e normalmente acham-se intercalados com material carbonático impuro, ou metassedimentos comumente carbonáticos. Às vezes acham-se finamente laminados com níveis milimétricos de filitos.

Dentro desta unidade ocorrem camadas de até 100 m de metassedimentos rítmicos de cores cinza a esbranquiçadas (pesaCII), que normalmente marcam as cristas alongadas da seqüência. Em contrapartida, as faixas carbonáticas mais puras mostram relevos planos, levemente ondulados, com estruturas de dissolução.

É muito comum nesta unidade a presença de pirita disseminada, bem como níveis de calcita, esta normalmente nas fraturas.

São inúmeras as frentes de lava abandonadas, e em menor escala as ativas.

Os pontos de melhor exposição são: a mina abandonada de Santo Olavo e a de Itaretama, em atividade, situada a Leste da Serra do Vuturuvu. Na primeira, às vezes ocorre fluorita, conforme com. verbal de Pontes.

3.1.3.4 - Unidade D - Vuturuvu (pesaD)

A unidade denominada Vuturuvu aflora na serra homônima com faixas aflorantes de aproximadamente 1 km de espessura.

Constitui uma unidade geomorfológica distinta, com altitudes de até 1.033 m, que separa a faixa carbonática em duas porções.

É constituído por uma seqüência rítmica e por vezes cíclica que varia texturalmente de metaconglomerados até metargilitos.

Os níveis arenosos possuem coloração esbranquiçada, são imaturos e mal selecionados. Apresentam no mínimo três classes texturais, com grãos subarredondados e argilominerais como matriz. À medida que texturalmente ficam mais finos adquirem coloração acinzentada.

As estruturas como lamination piano-paralela (milimétrica a decimétrica), estratificação gradacional são uma constante nesta unidade, bem como a presença de galhas de argila.

Suas relações de contato com os carbonatos se dão aparentemente de forma concordante, e está limitada a Sudoeste e em contato por falha com as rochas da Formação Água Clara.

3.1.4 - Complexo Granítico Três Córregos (pegTC)

As rochas deste Complexo Granítico (Rodrigues et al., 1977) têm exposição reduzida na área mapeada, aflorando apenas na região Sudoeste.

São rochas porfiróides, róseas, cortadas por veios de microgranito. Provavelmente originaram os efeitos metamórficos de contato sobre a Seqüência Antinha, e também devem ter constituído a fonte principal das rochas clásticas da Unidade Conglomerática Arcosiana.

3.1.5 - Unidade Conglomerática Arcosiana (socg)

Esta unidade ocorre em franja, limitada a Oeste por falha e assenta discordantemente sobre a Unidade B (pesaB).

São metassedimentos extremamente imaturos, tanto texturalmente quanto mineralogicamente, variando da fração silte até seixos de feldspatos, quartzo, quartzito e filito, com grau de angulosidade diversa, porém normalmente, de angulosos a subarredondados.

De maneira geral a porcentagem de feldspato ultrapassa 20%.

Microscopicamente (lam. OS-185) é composta por grânulos e seixos de quartzo, plagioclásio e microclínio, epidoto, sericita-xisto (?), clorita e biotita.

Esses metassedimentos, por suas características devem ter sido depositados ao longo de escarpa de falha, com forte contribuição, na área fonte, de rochas graníticas e secundariamente de rochas metamórficas.

Os processos de sedimentação, provavelmente foram subaéreos com cones de deposição atuando com alguma contribuição fluvial, evidenciada em metarenitos arcossianos com estratificação cruzada de baixo ângulo.

3.1.6 - Intrusivas Básicas Mesozóicas

Representadas principalmente por diques de diabásio e subordinadamente de diorito pôrfiro ocorrem com grande freqüência (cerca de 60 corpos mapeados, numa densidade de 1,5/km em perfil NE). Em alguns pontos apresentam-se aparentemente concordantes, com aspecto de sills (proximidades de Canelão).

Relacionadas ao arqueamento de Ponta Grossa, estas rochas condicionam em grande parte as drenagens de direção NW, prejudicando a amostragem geoquímica, como será discutido posteriormente.

3.2 - Estratigrafia

Para o estabelecimento da coluna estratigráfica local tem-se que partir de algumas premissas de ordem estrutural, relações de contato e metamorfismo, que são expostas a seguir:

- As unidades A e B estão posicionadas num anticlinal, onde a Unidade A fica no centro e a Unidade B nos flancos do mesmo;
- A Unidade A assenta discordantemente (estrutural e metamórfica) sobre as rochas da Formação Água Clara;
- Os contatos entre as unidades A e B se fazem gradacionalmente;
- A relação de contato entre a Unidade B e C (carbonática), aparentemente se faz de forma concordante;
- A Unidade C (carbonática) se posiciona no centro de um sinclinal presente na porção Sudeste da área;
- A Unidade Carbonática possui, aparentemente, relação de contato concordante com a Unidade Vuturuvu (D);
- Para a Unidade Vuturuvu (D), inferiu-se um posicionamento na porção central de um sinclinal, configurado pela Unidade Carbonática (C);
- O efeito de metamorfismo termal é generalizado para toda seqüência;
- A Unidade Conglomerática Arcosiana apresenta forte contribuição de material granítico (quartzo e feldspato) e relação de contato discordante com a Unidade B, principalmente;
- A Formação Votuverava apresenta uma foliação S_1 paralela a S_0 e microdobras tipo chevron, tendendo a isoclinais.

- A Formação Votuverava possui relação de contato por falha com a Formação Água Clara e Seqüência Antinha (Falha de Morro Agudo, CPRM, 1977);
- A Seqüência Antinha apresenta-se dobrada, com eixo sem cimento, que pode significar apenas uma geração de dobras, sem posterior deformação;
- As dobras da Seqüência Antinha são do tipo intermediário entre chevron e similar, tendendo a fechadas;
- A Formação Água Clara apresenta-se com padrão estrutural complexo, com no mínimo duas fases de dobramento;
- O Batólito Granítico Três Córregos encontra-se intrudido nas rochas da Formação Água Clara.

Tendo em vista as premissas expostas acima, observa-se que os dados obtidos, quanto não confirmem a real natureza dos contatos entre as unidades A e B com as unidades C e D, levam a supor que eles são concordantes. Sugere-se, então, que o nome de Seqüência Antinha seja extensivo às unidades C e D, além das unidades A e B, que correspondem à proposição de Pontes (1981). A Unidade Conglomerática Arcosiana tem caráter nitidamente discordante, podendo ser correlacionada com segurança à Formação Camarinha.

Ressalta-se que estas considerações têm implicações importantes, visto que estas rochas carbonáticas (Unidade V) vêm sendo tradicionalmente inseridas na Formação Votuverava. Portanto, como as conclusões indicam que a Seqüência Antinha é mais jovem, fica evidente a necessidade de estudos mais aprofundados sobre estes conjuntos litológicos.

No estágio atual, a Seqüência Antinha permanece como uma unidade pró-estratigráfica (Código Estratigráfico - SBG-1983), provavelmente tendo sofrido os últimos efeitos do Ciclo Brasiliense e a influência térmica das intrusões graníticas, faltando uma definição mais precisa em relação à Formação Votuverava para caracterizar o seu posicionamento estratigráfico dentro do Grupo Açungui.

COLUNA ESTRATIGRÁFICA PROPOSTA

GRUPO ACONQUI Estratigrafia Recuperação Recuperação Recuperação	<input type="checkbox"/> Ds - Depósitos aluvionares recentes
	<input type="checkbox"/> Jkdb - Diques de diabásio e subordinadamente de diorito pletítreo
	UNIDADE CONGLOMERÁTICA ARCOISIANA - Conglomerados. <input type="checkbox"/> Cog - polimíticos com matriz arcossiana, níveis de arcossios, arcossios microconglomarídicos e arenitos arcossianos
	<input type="checkbox"/> pCgTC Granito porfirídeo com veios de microgranito
	<input type="checkbox"/> pCsoD - UNIDADE D - Metarenitos esbranquiçados, metaconglomerados, metassilitos e metargilitos (rilmíticos)
	<input checked="" type="checkbox"/> pCsoC - Metacalcários calcícios, puros e impuros, cinza
	<input type="checkbox"/> pCsoB - metarrítmitos siltícos-arenosos, metarenitos finos e metaconglomerados
	<input type="checkbox"/> pCsoA - metassilitos rilmíticos, cinza claros e escuros, localmente maficos, cinza escuros (pCsa A1); intercalações de metassilitos nodulosos, cinzlos, associados a níveis de metaconglomerados e metarenitos finos, esbranquiçados (pCsa A2); intercalações de metarenitos róseos-cinzos, horadícios (pCsa A3); intercalações de metarrítmitos piríticos (vulcânicos?), (pCsa A4)
	<input type="checkbox"/> pCV - Filitos com níveis de metarenitos, metarenitos grosseiros e metaconglomeríticos
	<input checked="" type="checkbox"/> pEAC - Calcoxistos, marmores puros e impuros, mico-xistos, clorito-xistos, xistos carbonosos, xistos manganesíferos, formações ferro-manganesíferas e metacalcito intrusivo (mb)

3.3 - Considerações sobre o Ambiente de Sedimentação

A seqüência como um todo, mostra uma ritmocidade marcante, que provavelmente deve ser o resultado de depósitos marinhos com grande influência das marés.

Aparentemente os sedimentos tiveram duas condições geoquímicas bem distintas: oxidante (Unidade B) e reduutora (Unidade A) com alguma recorrência da primeira sobre a segunda.

O sistema dominante foi de plataforma clástica, onde o fácies de fundo lamítico está registrado na Unidade A e os fácies de barras de plataforma, de canais subaquosos (canions) e leques de turbidez representados na Unidade B e provavelmente na Unidade Vuturuvu (D).

As unidades carbonáticas (C) tiveram seus depósitos na plataforma carbonática, aparentemente sem contribuição do fácies de recife de borda de plataforma.

3.4 - Características Morfo-Estruturais

Da porção central para Norte da área, a distinção morfológica das formações e algumas unidades é bastante evidente, como mostra a fig. 3.

A unidade de rochas graníticas é caracterizada pela forte dissecação do relevo, com alta densidade de drenagem, interflúvios curtos e forte ângulo das encostas com vales em forma de "V". O padrão de drenagem é dendrítico e os diques formam cristas alongadas.

A Formação Água Clara é caracterizada pela baixa densidade de drenagem, interflúvios largos com leve convexidade, alongados na direção Noroeste e formas de encosta levemente côncavas. O padrão de drenagem possui alguma orientação Noroeste com sinuosidade mista (curvo e retilíneo).

Na "Seqüência Antinha", os elementos de relevo com forte desenvolvimento de cristas assimétricas alongadas no sentido Nordeste são características dessa unidade.

As faixas carbonáticas possuem baixa densidade de drenagem e relevo arrasado. As cristas alongadas na direção Nordeste são devido a camadas de metassedimentos ou carbonatos impuros.

A Serra do Vuturuvu é uma unidade morfológica bastante distinta, formando uma crista alongada para Nordeste, com as maiores altitudes da área (em torno de 900-1000 m) e apresentando-se levemente assimétrica para Noroeste.

A Formação Votuverava apresenta íntima associação de relevo e drenagem. A drenagem é fortemente estruturada, com vales retilíneos, alongados na direção Noroeste (diques) e forte freqüência de linhas curtas na direção Nordeste. O relevo é dissecado e o padrão de drenagem é retangular, com elementos maiores na direção Noroeste e curtos na direção Nordeste (foliações).

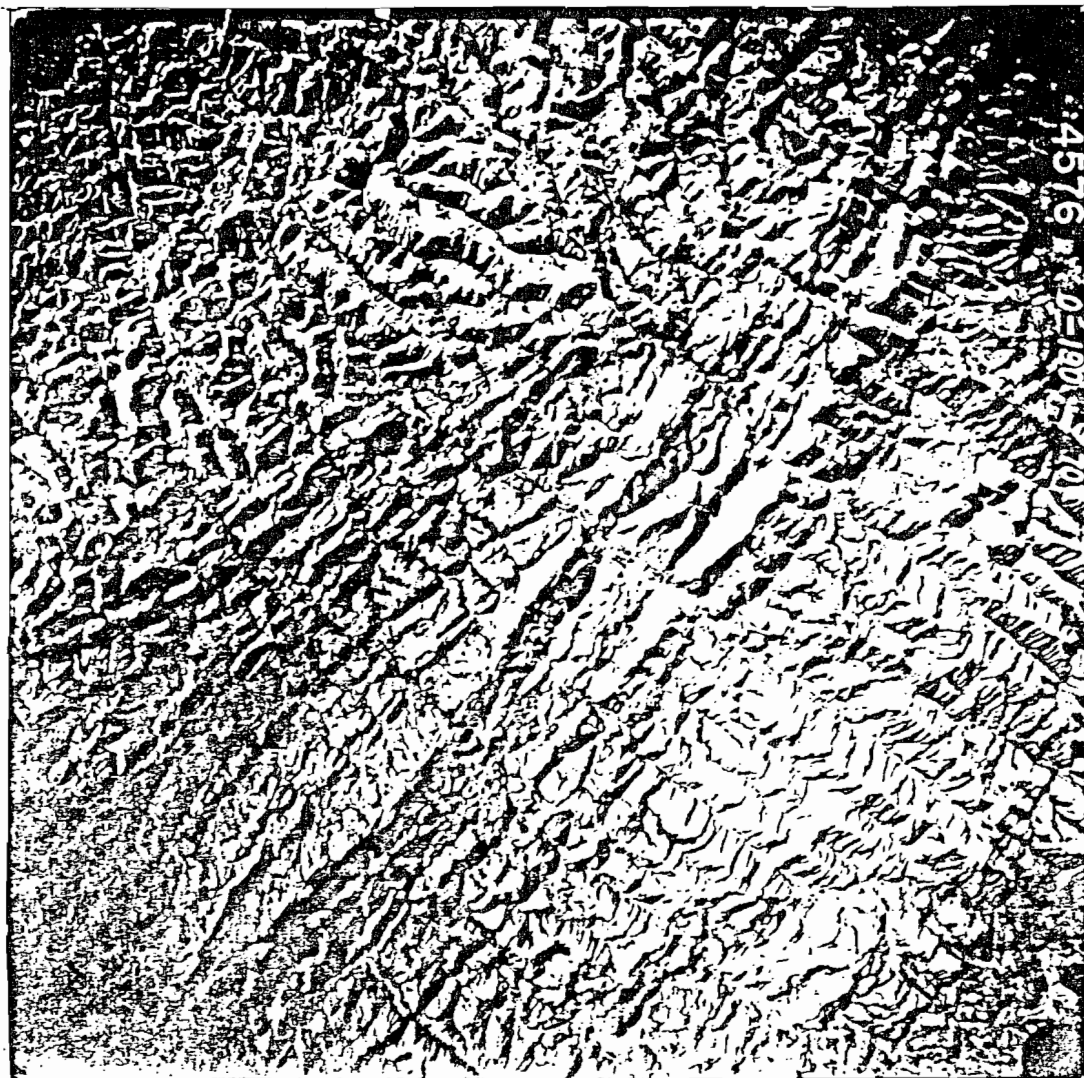


Fig. - Características geomorfológicas dos conjuntos
litoestratigráficos.

- Diques de diabásio
 - Granito Três Córregos
 - Unidade D (Vuturuvu)
 - Unidade C (Carbonática)
 - Unidades A e B
 - Formação Votuverava
 - Formação Água Clara
- } Seqüência Antinha

3.5 - Aspectos Estruturais

O padrão estrutural da Seqüência Antinha foi considerado como um dos fatores distintivos em relação à Formação Votuverava por Pontes (1981). Em com. verbal, o referido geólogo considera que esta formação apresenta dobras apertadas, tendendo a isoclinais (no sentido de flancos mergulhando para o mesmo quadrante e com o mesmo ângulo), portanto com S_1 paralela ao acamamento, e também com uma clivagem ardósiana superposta, indicando uma segunda fase de dobramentos.

Em relação à Formação Água Clara, a Seqüência Antinha é claramente discordante (discordância angular e metamórfica), fato este evidenciado também pela estruturação extremamente complexa daquela formação.

Analisando-se os dados obtidos até o momento é possível alinhar as seguintes observações:

1) No diagrama de polos de acamamento da Seqüência Antinha (fig. 4.1), as modas configuram uma dobra com flancos modais N49E, 62NW e N49E, 56SE, porfanto com eixo N49E, 0° (horizontal). Este aspecto de horizontalidade do eixo corrobora a hipótese de apenas uma fase de deformação, embora na prática sejam observados pequenos ângulos de caimento (em torno de 10-15°). As mesodobras observadas, principalmente na unidade de metassiltitos nodulosos (OS-156) enciam-se nas conclusões do diagrama, com abertura similar (60°) e plano axial verticalizado. O plano axial próximo da vertical e o eixo horizontalizado permitem classificá-las como normal horizontal a sub-horizontal, segundo Fleuty (1964, in Campos Neto, 1981). Um espessamento incipiente da charneira (OS-156), admite ainda comparação com um tipo próximo a sub-classe 1 C, de Ramsay (1967).

2) No diagrama da clivagem ardósiana da Seqüência Antinha (fig. 4.2), considerando a clivagem no sentido de Loczy e Ladeira (1976), as concentrações modais aproximam-se da verticalidade, com a maioria das medidas contida num ân-

gulo de 32° (de N49E, 69SE a N49E, 79NW). A direção coincidente dos planos modais de S_1 com o eixo geral do dobramento confirma que esta clivagem é plano-axial, e a variação de mergulho deve-se provavelmente à configuração em leque. As evidências de campo mostram S_1 formando ângulo com S_0 em todos os pontos observados, indicando a abertura das dobras.

3) O diagrama das medidas sobre a Formação Água Clara, da xistosidade paralela ao acamamento (fig. 4.3), sugere um dobramento semelhante ao da Seqüência Antinha: abertura de 64° , eixo N45E, 4° NE. Parece, portanto, representar o evento final sobre rochas já dobradas isoclinalmente em pelo menos duas fases anteriores, como indicam os dados de campo.

4) Com relação a Formação Votuverava, as medidas em número insuficiente não permitem a análise através de diagrama. As observações de campo indicam uma fase de deformação bastante intensa, com uma clivagem ardósiana muito bem desenvolvida (filítica), paralela ao acamamento. Também localmente se evidencia a superposição de uma clivagem menos marcante. Estes argumentos levam a admitir uma diferença de estruturação com a Seqüência Antinha e não apenas respostas diferentes ao mesmo evento, de rochas com características diferentes.

5) Os falhamentos são observados em diversos pontos da Seqüência Antinha, via de regra de direção Nordeste. A principal zona de falha é a de Morro Agudo, com direção N 30° 40E, que separa esta seqüência da Formação Votuverava, a Leste. É generalizada a ocorrência de termos da seqüência protomilonito-milonito-ultramylonito, de Higgins (1971), em faixa cataclástica de centenas de metros de espessura. A Oeste, o limite com a Formação Água Clara também se faz por falha (N50-60E), que converge para a de Morro Agudo e define assim a forma de cunha da Seqüência Antinha. Nas proximidades deste contato existe uma falha que controla a deposição (a Sudeste) da Unidade Conglomerática Arcosiana (socg), in-

dicando períodos de falha de gravidade.

6) Em termos regionais a Seqüência Antinha configura um anticlinal pareado a um sinclinal a Leste. Este sinclinal é nítido na parte Sul e a posição da Unidade Carbonática em relação a ele leva a considerá-la como posterior às unidades A e B. Na parte Norte, após o Rio Curriola, os metassiltitos nodulosos configuram a terminação de uma dobrar, aparentemente siniforme, cuja relação com o restante das unidades não foi bem compreendida. A Leste aparentemente a Unidade Carbonática forma um sinclinal com a Unidade D (Vuturuvu) no centro.

3.6 - Metamorfismo

As paragêneses observadas em análises petrográficas da Seqüência Antinha situam o metamorfismo destas rochas no grau fraco (Winkler, 1977). Algumas associações obtidas são as seguintes:

- 1) quartzo-sericita-clorita - (OS-136)
- 2) quartzo-sericita-clorita-cloritóide - (OS-143)
- 3) sericita-quartzo-clorita-cloritóide - (OS-133)
- 4) clorita-sericita-quartzo-andaluzita (?) - (OS-134)

As paragêneses incluindo sericita, clorita e quartzo são comuns nos graus incipiente e fraco. O cloritóide, porém, é diagnóstico do grau fraco, formando-se a partir de rochas pelíticas de composição especial, com uma alta razão Fe-Mg, alto teor de Al e baixos teores de K, Na e Ca. O mineral persiste durante toda a escala deste grau, mas a mineralogia associada (2 e 3) sugere que o evento regional deve situar-se nos estágios inferiores (Winkler, op. cit.). Segundo Miyashiro (1975), o cloritóide ocorre caracteristicamente em metapelitos de baixa temperatura, altamente aluminosos, em terrenos metamórficos regionais de baixa pressão.

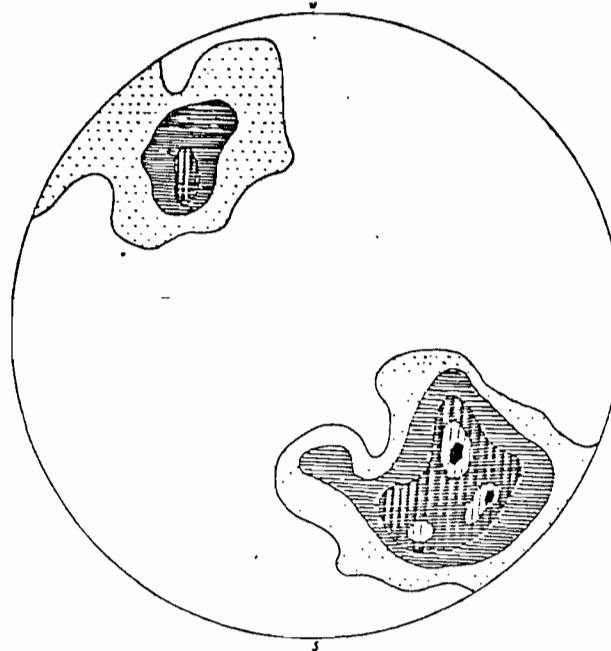


Fig. 4.1 - Polos de acamamento da Seqüência Antinha (196 medidas)

> 8%
7-8%
5-7%
3-5%
1-3%
> 1%

Fig. 4.2 - Polos de clivagem ardosiana (S_1) da Seqüência Antinha >11% (48 medidas)

>11%
9-11%
7-9%
5-7%
3-5%
1-3%
>1%

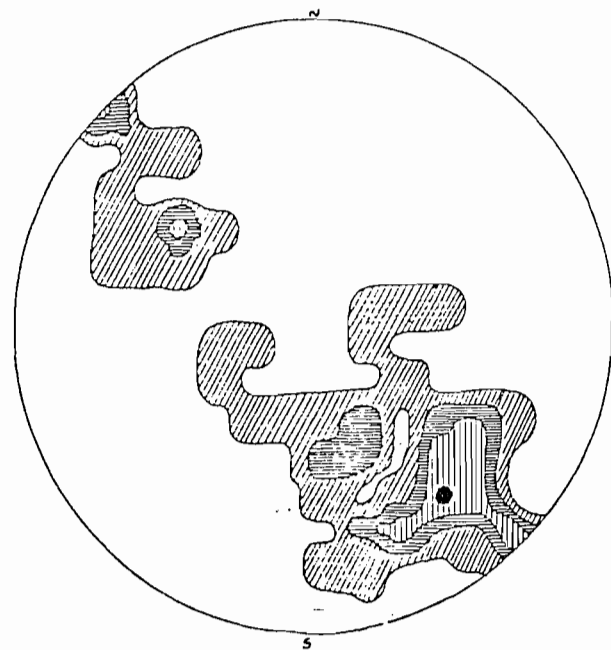
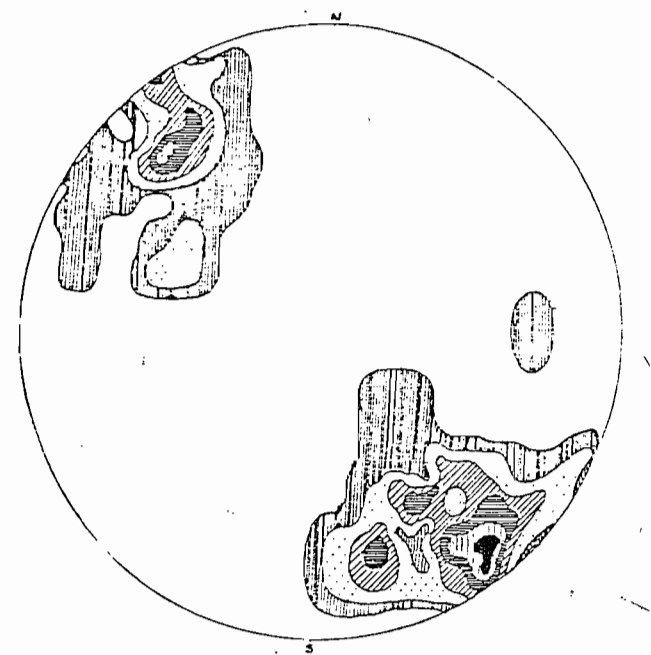


Fig. 4.3 - Polos de xitosidade paralela ao acamamento, na Formação Água Clara (29 medidas)

11%<
7-11%
4-7%
1-4%
1%>

Os minerais metamórficos, com exceção dos de origem termal, estão relacionados a uma clivagem ardosiana (de cristalização muito final), o que define o ciclo que afetou estas rochas como de natureza tectono-metamórfica.

Sobreposto a este evento regional, existem evidências de metamorfismo de contato que conferem características marcantes para algumas unidades da Seqüência Antinha, como a de metassiltitos nodulosos (pesaAII) e a de metarenitos hornfélscos (pesaAIII). A primeira apresenta o desenvolvimento de nódulos submilimétricos de agregados de clorita, numa matriz quartzo-sericítica, com níveis mais quartzosos subordinados, onde não se observam nódulos (ex. lâmina OS-088). Os metarenitos hornfélscos se caracterizam por cristais de muscovita e subordinadamente clorita formados aleatoriamente, com tamanho variando de submilimétrico a vários milímetros, em maior quantidade em alguns níveis e menor em outros (ex. lâminas OS-99, OS-134, etc). Aparentemente esta camada reúne as condições mais favoráveis para refletir a influência térmica, visto que efeitos semelhantes também são observados em outros pontos (ex. Unidade pesaB), mas com menor expressão.

As paragêneses relacionadas ao evento termal, como clorita, biotita e muscovita-clorita, podem ser incluídas no fácies albita-epidoto-hornfels (Turner, 1968, in Girardi, 1979), que define as faixas da auréola mais externa (lâminas OS-088, OS-087-D, OS-087-A, OS-097). Na lâmina OS-096-A, também dos metarenitos hornfélscos, a associação é a seguinte: muscovita-sillimanita-andaluzita (?). Para Girardi (1979), a sillimanita é típica do fácies hornblenda-hornfels, já na auréola de metamorfismo mais interna.

Existem pelo menos duas hipóteses para explicar esta fase termal superposta, quais sejam: a influência da intrusão do Complexo Granítico Três Córregos ou dos diques básicos Juro-Cretáceos. Ressalta-se que os efeitos são bastante generalizados, com as camadas referidas conservando as características em toda extensão da Seqüência Antinha (Unidade pesaA e subordinadamente pesaB). Além disso, apesar da grande incidência de diques de diabásio e diorito pôrfiro

(num perfil NE, cerca de 1,5/km), não tem sido relatadas influências termais expressivas para estes corpos, o que deve ser explicado pelas pequenas espessuras, situadas em torno de 50-100 m. Em vista disto, os autores consideram que este evento deve estar relacionado à intrusão granítica, na sua auréola mais externa, com apenas a lámina OS-96-A denotando efcitos um pouco mais intensos. Uma terceira possibilidade que ainda poderia ser considerada é a de percolação de soluções hidrotermais, mas faltam elementos para sua caracterização,

IV - POTENCIALIDADES ECONÔMICAS DA ÁREA

IV - POTENCIALIDADES ECONÔMICAS DA ÁREA

A Seqüência Antinha foi selecionada para trabalho a nível de semidetalhe com as seguintes expectativas:

- possibilidade de tratar-se de uma unidade de cobertura, provável molassa inferior ou precoce (Pontes, 1981);
- contexto geológico semelhante ao das Minas de Canacuã (Cu) e Santa Maria (Pb e Zn), no Rio Grande do Sul;
- características condizentes com depósitos sedimentares de cobre do tipo "red bed" e também do tipo Kupferschiefer segundo Pelissonnier (1972, in Ribeiro, 1977);
- ocorrência de zonas geoquimicamente anômalas (Ramos e Licht, 1982).

4.1 - Avaliação Geológica

A possibilidade de tratar-se de uma molassa precoce, em princípio fica em aberto, porém, se enquadrada nessa classificação, seria tardigeosinclinal (molassa inferior) envolvida pelos esforços compressivos atuantes durante e após sua deposição, acompanhada inclusive de metamorfismo. Além disso pode-se acrescentar o ambiente marinho raso da seqüência, próprio das molassas inferiores.

Com respeito a possível semelhança com a Mina de Camacuã e Santa Maria (RS) fica descartada essa hipótese. As mesmas se enquadram no conceito de molassa superior, com sedimentação em leques (aluviais ou deltaicos).

Pode-se acrescentar que o Grupo Bom Jardim, encaixante das mineralizações das Minas de Camacuã e Santa Maria é constituído por: arenitos e conglomerados (Membro Vargas, portador das mineralizações); siltitos e arenitos finos (Membro Mangueirão) e vulcânicas (Membro Hilário) uma associação e disposição espacial sem muita relação com a seqüência.

Vale salientar que em Santa Maria as mineralizações de Pb e Zn preferencialmente se alojam em arenitos de cores branca, branco-acizentada e cinza

Quanto às características condizentes com depósitos sedimentares tipo "red-beds", pode-se suspeitar a probabilidade da presença desses depósitos na seqüência, conforme caracterizações desses depósitos, feito por Juarez Fontana dos Santos e Nelson Chaban em seu artigo "Concentrações de Cobre Sedimentar do Tipo "red bed" (1978), que será reportado a seguir:

Os "red beds" são séries detritais de aspecto viegado, de origem continental ou epicontinental.

Os arenitos cupríferos formam-se usualmente durante fases tardias das grandes orogêneses, em zonas dobradas ou em plataformas adjacentes, em regiões de remarcada atividade tectônica.

As unidades clásticas compõem-se essencialmente de arenitos e siltitos e subordinadamente de conglomerados e argilitos. São constituídas por rochas fragmentais do tipo polimítico, com elevado conteúdo de cimento carbonático, feição típica de ambiente deposicional de clima árido (Strakhov, 1969).

As litologias apresentam normalmente ~~coloração~~ vermelha com camadas subordinadas de cores cinza e verde.

Segundo Domarev (1948), as bacias intracratônicas e intramontanas constituem depósitos cupríferos de reduzidas dimensões em contraste com as bacias mais estáveis, de borda de plataforma, que geram jazidas de grande importância econômica (Copper-Belt-Zaire-Zâmbia; Kazahkstão-URSS, etc.).

Os estratos mineralizados são especialmente irregulares quando ocorrem em bacias intramontanas, porém, nas formações marinhas apresentam estrutura uniforme e uma ciclicidade marcante, com repetição dos níveis mineralizados ao longo da seção a exemplo do que ocorre na Dzheskzgan-URSS, onde são identificados 18 ciclos sedimentares recorrentes (Ivankov, 1957).

Uma característica deste tipo de mineralização é o fato da concentração de cobre registrar-se quase sempre em

litologias de cores cinza a esverdeada, intercaladas em camadas vermelhas ou variegadas, nitidamente estereis.

Nos "red beds" a mineralização apresenta-se normalmente sob forma de calcosina, calcopirita, bornita, cuprita ou cobre nativo, finamente disseminados no corpo da rocha (2-200 micra). É comum a associação com outros elementos como a prata, urânio e vanádio.

Considera-se que a permanência das condições físico-químicas da bacia de deposição assuma vital importância na geração de seções mineralizadas de interesse econômico. Nesse ponto de vista, observa-se que na Dzheskzgan o conteúdo de cobre das camadas mineralizadas é proporcional a razão entre a espessura das camadas cupríferas esverdeadas e as de cor vermelha. Segundo Ivankov (1957), o minério é tanto mais rico quanto mais elevada for esta relação. Quando a razão é menor que um, o conteúdo de cobre do protominério é sempre inferior a 1%.

Um outro aspecto importante a ressaltar é que nas Jazidas de Cobre da Península de Keweenawan o minério está disseminado em conglomerados polimíticos e em amígdalas de derrames basálticos intercalados da série Portage Lake Lava. Esses conglomerados apresentam características de depósitos de "Talus", acumulados ao longo da falha de Keweenawan, em um ambiente intramontano, sob clima presumivelmente árido, com águas bastante rasas, deficientes em enxofre e muito oxidantes (Brown, 1974).

No que diz respeito a características condizentes com depósitos sedimentares do tipo Kupferschiefer pode-se verificar grandes possibilidades, com os mesmos argumentos utilizados para depósitos tipo "red beds".

Esses possuem posição geotectônica nas depressões marginais de plataforma. A formação do depósito se dá durante a transgressão marinha sobre os "red beds" continentais ou epicontinentais.

A sedimentação é litorânea marinha em águas rasas, representada por siltitos, margas e rochas carbonatadas.

Uma das similaridades entre os dois tipos de depósitos ("red beds" e Kupferschiefer) é o controle estrati-

gráfico das mineralizações que são concordantes e extensas; constituída de minerais de minério com textura muito fina, nem sempre visíveis a olho nu.

A mineralização se forma em bacias restritas, isoladas do mar aberto por barreiras, dando ambientes redutores, logo abaixo da influência das ondas. Pode ser preservada através de uma transgressão que trapearia esses depósitos. Essa mudança brusca nas condições geoquímicas também é fator marcante.

Os eventos adicionais que sofreu a Seqüência Antinha, como dobramento e metamorfismo, após a provável presença de mineralizações de origem sedimentar tipo "red beds" e Kupferschiefer não são fatores negativos.

A influência do metamorfismo provocaria mudanças texturais e mineralógicas, geraria outras fases, redistribuiria os componentes e originaria uma nova geração mineral e química, porém, em nada alteraria o volume de minério contido. (Macdonald, 1967, pp. 200-220).

As dobras tectônicas controlariam a forma e espessuras das camadas, porém não teriam ação sobre o volume final do minério. (Garlick, 1972, p. 280). Na área do drag-fold há concentrações de minério.

4.2 - Avaliação Geoquímica

Com respeito a ocorrência de zonas geoquimicamente anômalas, pode-se verificar em maior detalhe no relatório específico da Gerência de Apoio Técnico (Ramos, 1983), analisando-se aqui alguns aspectos fundamentais.

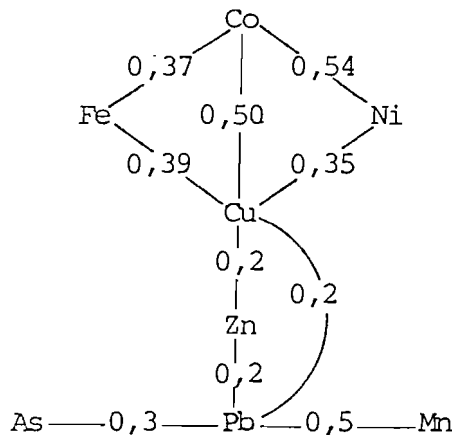
Neste levantamento foram coletadas 418 amostras de sedimento de corrente e 103 de concentrados de bateia, dosadas para Cu, Pb, Zn, Ni, Co, Fe, Mn e As, e Au, respectivamente. Também foram obtidos alguns resultados de amostras de rocha.

Uma dificuldade surgida para avaliação das anomalias identificadas é a influência dos diques de diahásio. A observação de alguns resultados de amostras de sedimento de

corrente, feitas sobre estes corpos permite, grosso modo, concluir:-

- o cobre mostra comportamento aleatório, porém geralmente com valores acima da média junto aos diques de diabásio;
- o chumbo aparentemente não sofre influência dos diques;
- o zinco atinge valores de cerca de um desvio padrão sobre a média;
- o níquel e o cobalto geralmente mostram teores um pouco acima da média;
- o ferro apresenta valores de até 1,5 vezes a média.

Posteriormente, esta influência foi detectada após o tratamento estatístico (Ramos, op. cit.), chegando-se ao diagrama de correlação abaixo:



A associação Co-Fe-Cu-Ni sugere nitidamente uma relação com as rochas maficas, o que inviabiliza a avaliação segura das anomalias de cobre, já que, com exceção da zona XVII.3, todas têm diques em sua área de abrangência. A separação por populações, embora imperfeita, resultou em aproximadamente 70 amostras com grandes possibilidades de influência dos diques. Estudando esta população em relação às restantes, Ramos (1983) observa que apresenta as médias mais elevadas para todos os elementos, com exceção de Pb e As, e

a segunda média para cobre. Vale salientar que a recíproca não é verdadeira, ou seja, onde ocorrem diques nem sempre há anomalia, o que desautoriza a atribuição dos valores mais altos somente a estas rochas. Neste sentido, a zona anômala XVII.2 apresenta maior interesse, considerando-se que apesar da existência de um dique de diabásio também registra-se uma ocorrência de malaquita no local.

Fazendo uma tentativa para eliminar o efeito dos diques, pode-se abstrair a associação Co-Fe-Cu-Ni da análise das anomalias, ressalvando-se porém que isto não é satisfatório, pois elimina-se o elemento cobre cujos resultados nas fases anteriores foram decisivos para se iniciar a prospecção desta seqüência. Com esta abstração aparecem as seguintes associações de elementos:

- 1 - Pb (zonas XIV, XV.1, XV.6, XVII.4 e XVIII.2)
- 2 - Zn (II.4, III, VI.4, VIII.1, VIII.2, XVII.2 e XVIII.2)
- 3 - Mn (II.2, IV.1, XI e XVII.1)
- 4 - Pb-As (XV.4, X, XV.4 e XVI)
- 5 - Pb-Zn-As (IV.2, VII)
- 6 - Pb-Zn-Mn-As (VI.2, XII.1, XIII.1)
- 7 - Pb-Mn-As (XIII.2)

Considerando-se as anomalias de Pb como mais confiáveis, a presença de Mn em algumas delas pode diminuir sua importância, face a problemas de concentrações por este elemento. Algumas anomalias parecem estar relacionadas às exposições da Unidade Conglomerática Arcosiana, o que pode aumentar o interesse econômico destas rochas (e consequentemente da Formação Camarinha), ou apenas representar influência litológica (Pb em feldspatos). O diagrama de correlação mostra, também uma associação de Pb com Mn e As. As melhores chances para mineralizações de chumbo, portanto, devem estar relacionadas à Unidade Conglomerática Arcosiana (eocg) e também à Unidade A da Seqüência Antinha, representada essencialmente por metassiltitos.

As anomalias de Au, em concentrado de bateia, aparentemente têm a mesma ligação, isto é, preferencialmente com

as rochas conglomeráticas e com a Unidade A.

No decorrer dos trabalhos ainda foram analisadas 16 amostras de rocha das diversas unidades, buscando identificação de metais dispersos, cujos resultados podem ser observados na tabela I.

Em vista das dificuldades de interpretação da geoquímica e os resultados inconclusivos na checagem das zonas anômalas, os autores consideram que devem ser procuradas alternativas para avaliação da Seqüência Antinha, seja através de tentativas de quantificação dos efeitos dos diques e sua eliminação ou de outros métodos de prospecção. De posse destas informações o trabalho poderia ser retomado com o reestudo das prioridades propostas por Ramos (1983), e o prosseguimento da pesquisa.

Número	Ca	Pb	Zn	Co	Mg	Fe	Mn	Ag	Au	Observações
RS-072	9	65	10			24000	10400			ROCK(82) - Fácies do silício metálico (magmático)
RS-96-B	3	30	100							TICPAR(82) - Metacristalito homófilico
RS-114	38	19	34							GLCSOL (04-83) - Retorno de silicificação (fáries clástica)
RS-174-A	9	34	30							TICPAR(82) - Fango-arenado
RS-134-B	5	37	63							TICPAR(82) - ?
RS-137-B-189	39	70						< 0,5	> 0,01	TICPAR(82) - Filonito
RS-120	21	27	120							TICPAR(82) - ?
RS-142	2	34	32							TICPAR (82) - Fácies silício-metálico
RS-169	18	1	10							GLCSOL(04-83) - Retorno de silicificação (fáries silício-metálico)
RS-139-B	40	33	75							GLCSOL(04-83) - Metacristalito homófilico
RS-170	112	60	36							GLCSOL(04-83) - Metacristalito piroítico
RS-174-A	62	10	35	20	156					GLCSOL(83) - Dique de diabásio
RS-179	66	110	58					0,11	2	GLCSOL (04-83) - Velo de quartzo
RS-153	77	15	52							GLCSOL (04-83) - Fango-arenado
RS-154	34	14	13							GLCSOL (04-83) - Fácies silício metálico
RS-166	71	15	40							GLCSOL (04-83) - Rocha cataclástica

Tabela I - Análises químicas de rocha.

V - CONCLUSÕES E RECOMENDAÇÕES

V - CONCLUSÕES E RECOMENDAÇÕES

5.1 - Conclusões

A Seqüência Antinha de Pontes (1981) foi subdividida nas unidade A (redutora) e B (oxidante) e o nome foi estendido às unidade C (Carbonática) e D (Vuturuvu).

O posicionamento tectono-estratigráfico deve estar relacionado ao final do Ciclo Brasiliense, com uma fase de deformação e metamorfismo (grau fraco). É de idade anterior ao Granito Três Córregos (metamorfismo de contato generalizado) e pelas características estruturais aparentemente é mais recente que a Formação Votuverava.

Sobre a Seqüência Antinha foi mapeada a Unidade Conglomerática Arcosiana, depositada em escarpa de falha e relacionada, em princípio, às rochas da Formação Camarinha (molassa),

A potencialidade da área é mais afinada para depósitos do tipo "red bed" e Kupferschiefer, ficando descartada a hipótese de semelhança com as jazidas de Camacuã e Santa Maria (RS).

Os efeitos de metamorfismo e tectonismo superimpostos a prováveis jazimentos do tipo sedimentar como estes, em nada alterariam o seu potencial.

A Unidade A (pelítica/redutora) é o fácies mais favorável para este tipo de jazimento, sendo esperado depósitos estratiformes com grande continuidade lateral.

A interface oxidante-redutor também é um fácies interessante, tendo em vista a mudança nas condições geoquímicas de deposição. A presença de pirita euédrica foi constatada nesta interface.

A Unidade Conglomerática Arcosiana apresenta anomalias de chumbo relacionada ou com os feldspatos presentes ou com uma provável correlação com a Seqüência Molássica Camarinha.

Os resultados de geoquímica de sedimento de corrente foram comprometidos pelos problemas dos diques, ficando clara a associação Cu, Ni, Co e Fe com esses corpos.

Ainda sobre a geoquímica de sedimento de corrente algumas observações podem ser alinhadas:

- problema de prospecção, por este método, sobre áreas posicionadas sobre o Arco de Ponta Grossa (pela alta freqüência de diques nesta porção);
- acentuada influência destes corpos na geomorfologia e controle das redes de drenagens sobre a Formação Votuverava e Seqüência Antinha principalmente, secundariamente sobre a Formação Água Clara e mais fracamente sobre rochas graníticas (fig. 3).
- comprometimento das anomalias de cobre detectadas, sendo difícil a sua interpretação sem prévios subsídios geológicos *in loco*.

Concluindo podemos dizer que:

A Seqüência Antinha tem potencial e devem ser utilizados outros métodos de prospecção indiretos, tão logo sejam encontradas soluções para o problema da interferência dos diques.

5.2 - Recomendações

Em vista das justificativas utilizadas para a realização de trabalhos na Seqüência Antinha serem adequadas também à Formação Camarinha, sugere-se um reconhecimento sobre estas rochas para uma avaliação conjunta, além de outras seqüências molássicas.

Considerando o potencial desta seqüência para jazimentos sedimentares de metais básicos e os métodos não conclusivos utilizados na fase inicial de prospecção, recomenda-se o estudo de outras técnicas para uma avaliação mais segura. Algumas hipóteses poderiam ser mencionadas: 1) estudos geoquímicos visando eliminar a interferência verificada na amostragem de sedimento de corrente; 2) planejamento e ex-

cução de análises de minerais pesados (visual); 3) realização de amostragem de solo em linhas transversais às camadas, podendo-se utilizar as estradas (proximidades) para facilidade dos trabalhos. Estas linhas transversais podem ter entre si um espaçamento relativamente longo, em vista da extensão da área e do tipo de jazimento esperado, que normalmente tem grande extensão lateral. Além disso, nesta nova fase poderiam ser ampliadas as alternativas de prospecção, como por exemplo, para fosfato sedimentar e grafita.

BIBLIOGRAFIA

BIBLIOGRAFIA

- BIGARELLA, J.J. e SALAMUNI, R. (1958) - Estudos Preliminares na Série Açuengui - VIII - A Formação Votuvera. Bol. Inst. Nat. - Geologia, nº 2, Curitiba.
- CAMPOS NETO, M. da C. (1981) - Dobras e Princípios de Análise do Dobramento. Inst. Geoc. USP. apost.
- CÓDIGO BRASILEIRO DE NOMENCLATURA ESTRATIGRÁFICA (1983), Edição Preliminar. SBG-NSP, 55 p.
- CPRM (1977) - Projeto Leste do Paraná, Mapa Geológico, Fl. Curitiba e Cerro Azul, esc. 1:100.000. MME/CPRM.
- FRITZSONS JR., O; PIEKARZ, G.F.; FALCADE, D. (1982) - Geologia e Potencial Econômico do Grupo Setuba (PR). An. XXXII Cong. Bras. Geol. - SBG, Salvador, v. 3, p. 987-1001.
- GIRARDI, V.A.V. (1979) - Metamorfismo e seus Produtos. Parte 1, Inst. Geoc. - USP, 116 p.
- HASUI, Y.; CARNEIRO, C. dal R.; BISTRICHI, C.A. (1980) - Estruturas e Tectônica do Pré-Cambriano de São Paulo e Paraná. An. Ac. Bras. Cienc., 52, (1), p. 61-76.
- HASUI, Y.; CARNEIRO, C. dal R.; COIMBRA, A.M. (1975) - The Ribeira Folded Belt. Rev. Bras. Geoc., 5, (4), p. 257-266.
- HASUI, Y.; SADOWSKI, G.R. (1976) - Evolução Geológica do Pré-Cambriano na Região Sudeste do Estado de São Paulo. Rev. Bras. Geoc., 6, (3), p. 182-200.
- HIGGINS, M.W. (1971) - Cataclastic Rocks. Prof. pap., U. S. Geol. Surv., 687.

LOCZY, L. e LADEIRA, E.A. (1976) - Geologia Estrutural e Introdução à Geotectônica. Ed. Edgard Blüder/CNPq, 528 p.

MARINI, O.J. (1970) - Geologia da Folha de Rio Branco do Sul (PR). Fac. Fil. Cien. Let., Rio Claro, 190 p. Inédito.

MARINI, O.J.; TREIN, E.; FUCK, R.A. (1967) - O Grupo Açuengui no Estado do Paraná, in Bigarella, Salamuni, Pinto (Ed.). Geologia do Pré-Devoniano e Intrusivas Subseqüentes da Porção Oriental do Estado do Paraná - Bol. Par. Geoc., 23 - 25, p. 43-104.

MIYASHIRO, A. (1975) - Metamorphism and Metamorphic Belts. Ed. J. Wiley & Sons, N. York, p. 254.

MURATORI, A.; FUCK, R.A.; BIGARELLA, J.J. (1967) - Contribuição ao Estudo da Formação Camarinha, in Bigarella, Salamuni, Pinto (Ed.). Geologia do Pré-Devoniano e Intrusivas Subseqüentes da Porção Oriental do Estado do Paraná. Bol. Par. Geoc., 23-25, p. 221-235.

PONTES, J.B. (1981) - Geologia e Potencialidades Econômicas da Formação Água Clara. Relat. Int. - MINEROPAR, 34 p.

RAMOS, M.M. (1981) - Reconhecimento Geoquímico na Área da Formação Água Clara. Relat. Int. - MINEROPAR.

RAMOS, M.M. (1983) - Levantamento Geoquímico de Semidetalhe na Área da "Seqüência Antinha" - PR, Relat. Int. - GATE/ MINEROPAR.

RAMOS, M.M. e LICHT, O.A.B. (1982) - Levantamento Geoquímico de Semidetalhe na Área de São Silvestre (PR). Relat. Int. MINEROPAR.

RAMSAY, J.G. (1967) - Folding and Fracturing of Rocks. McGraw - Hill, 568 p.

- RIBEIRO, M. (1977) - O Cobre em Rochas Sedimentares, Relat. Int., CBC, Porto Alegre.
- RODRIGUES, J.C.; CARVALHO, M.A. da S.; COLONERI, S.; AGUIAR, N.A.; BATOLLA JR., F. (1977) - Projeto Leste do Paraná - Fl. de Campo Largo, MME/CPRM.
- SANTOS, J.F. e CHABAN, N. (1978) - Concentrações de Cobre Sedimentar do tipo "red-bed" em Caçapava do Sul (RS). An. XXX Cong. Bras. Geol., v. 6, Recife.
- VEIGA, A.T.C. e SALOMÃO, E.P. (1980) - A Formação São Sebastião e sua Importância Econômica. An. XXXI Cong. Bras. Geol. - SBG, (2), p. 826-831.
- WERNICK, E. e PENALVA, F. (1978) - Contribuição ao Conhecimento das Rochas Granitóides do Sul do Brasil, Rev. Bras. Geoc., 8 (2), p. 113-133.
- WINKLER, H.G.F. (1977) - Petrogênese das Rochas Metamórficas - EG. Edgard Blücher Ltda, Porto Alegre, p. 492.

ANEXOS

1. Fichas de Análises Petrográficas
2. Mapa Geológico
3. Mapa de Pontos
4. Perfis Geológicos
5. Fotografias

FICHAS DE ANÁLISES PETROGRÁFICAS

PROJETO METAMÓRFITOS

PONTO N°

AMOSTRA N° 05-039

17/03/82

PROCEDÊNCIA SANTO SILVESTRE (ESTRADA) Aguas Claras TIPO DE AMOSTRA

COLETOR OSCAR BAZAAR JR

QUADRÍCULA

Rio Branco do Sul. 1:50000

FOLHA GEOLOGICA - CAMPO Largo

CPRM - 1:100000

F 1 F

DESCRICAÇÃO DE AFLORAMENTO

Roche de coloração cinza escura, granulação fina, composta essencialmente por quartzo serrilhado com clorita formando pequenos agregados dispersos pelo roche. Observa-se uma clivagem indistinta formando ângulo com o plano de desprendimento.

Intervalo se anuncia secuencia de gochos
lácteos, corriéndose metamorfitos. ~~metaconglomerados~~
metaconglomerados pétrofíticos (con nódulos de gneiss, gneissito,
feldespatito) y metacircosios conglomeráticos e intercon-
glomerados con matriz arenosa.

Recluse:

DESCRICAÇÃO MACROSCÓPICA

Cc- C1727 EOC/120

Granulação F119

Texture E 24158 35712

Estados Unidos Mexicanos

Graf en niemandome 2020-07-22 12:58:09

$\text{K}_2\text{Cr}_2\text{O}_7 \cdot \text{H}_2\text{O}$

METHODS - Definitions

Class Teacher

DESCRICAÇÃO MICROSCÓPICA

A Test

For the 2000-2001 financial year ended June

REFERENCES AND NOTES

Matriz cu base

C) Composição modal (m^3 vol.): Estimada visualmente

Calculada

Mineral	%
1) sericita	
2) espessos	
3) biotita	
4) turmalina	
5) quartzo	
6) clorita	
7) andaluzita	
8) muscovita	
9)	
10)	

Mineral	%
11)	
12)	
13)	
14)	
15)	
16)	
17)	
18)	
19)	
20)	

D) Descrição dos Minerais e Relações Texturais

Amostra semelhante à JP-358 descrita pelo Prof. Coutinho

Metaplato homófitico

PROJETO METAMORFITOS

PONTO N.º 05-049 AMOSTRA N.º 05-049 DATA 19/05/82

PROVENIÊNCIA REGIÃO TACITICA - FAM. Águas Claras TIPO DE AMOSTRA ROCHA

COLETOR OSCAR SORAZZI Jr.

QUADRÍCULA campo cargo R.B.S. 1:50000

FOLHA GEOLÓGICA Caren 1:100000

F 1 F 2

DESCRÍÇÃO DE AFLORAMENTO

Afloramento de Metacalcário calcítico, granulação muito fina, carvunge, aspecto marrão.

Intercalam níveis centimétricos, granulação grosseira, constituidos por grãos de quartzo de fôrmas variadas, até náutimétricas e matriz carbonática. Além disso observam-se agregados relicticos.

Pode-se

Níveis quartzo-ss } evidências clásticas -

ou recristalização do quartzo -

DESCRÍÇÃO MACROSCÓPICA

Cor cinza

Granulação banda muito fina e banda fina a grosseira

Textura

Estrutura pliomórfica

Grado de intensidade amostas fraca

Atividade HC ruge bem (nível grosseiro na matriz)

Minerais id. visuais calcita, quartzo

Classificação metacalcário calcítico e metarenito carbonático.

DESCRÍCIAO MICROSCÓPICA

A. Textura

B. S. - tipo

S. B. Banda estruturalmente esfingular

Fractura - quebra

M. M. da base

C) Composição modal (% vol.): Estimada visualmente

Calculada

Mineral Banda 1	%
1) carbonato	
2) quartzo - muito raro	
3) seixita - muito rara	
4) opacos - minerais disseminados	
5)	
6)	
7)	
8)	
9)	
10)	

D) Descrição dos Minerais e Relações Texturais

Banda 1

Granulação - muito fina

Textura - granoblástica - apresenta microfissuras perpendiculars ao acamamento.

Classificação: metacalcário impuro

Banda 2

Quartzo recristalizado, com cristais irregulares, geralmente alongados, com extinguições fortemente ondulante, de tamanho aproximadamente entre 0,1 e 0,2 mm.

Opacos com formas anídicas, alongados e bordos irregulares.

A matriz é constituída por carbonato microgranular. Localmente observa-se cristais de carbonato recristalizados.

Textura periclastica, ligeiramente orientada segundo o acamamento.

Classificação: metacalcário silicoso

Trata-se de uma rocha carbonática, afanítica, de grau metémico baixo (mineral índice - seixita), com níveis mais silicosos.

Metacalcário impuro e metacalcário silicoso

Mineral Banda 2	%
11) carbonato	
12) quartzo	
13) opacos	
14) seixita	
15)	
16)	
17)	
18)	
19)	
20)	

PROJETO METAMORFITOS

PONTO N° 03-070 AMOSTRA N° 03-070 DATA 30/06/82

PROCEDÊNCIA

TIPO DE AMOSTRA RODÔNA

COLETOR OSCAR SARAIVA Jr.

QUADRÍCULA CAMPO URGUAI

FOLHA GEOLÓGICA OFEN - 1:100.000

F1 F2

DESCRÍÇÃO DE AFLORAMENTO

Sequência de metarenitos, localmente mircocangloneríticos (grãos de quartzo e quarteto), com níveis de metarolítos, de composição clorítica. Em outros pontos os metarenitos são mais bem selecionados, de granulação fina, cuja clorita Os Metarolítos são corvendados, e predominantemente além de clorita apresentam sericitita na composição. bandas mais claras alternando com os corvendados evidenciam ocorrimento. Observa-se uma variação regular do So.

— Classif., mineralogia, 59 / 50

DESCRÍÇÃO MACROSCÓPICA

Cor: cinza corvendado

Fissil: falso

Talco: —

Talco: —

Fissil: falso

Talco: —

clorita rara - quartzo

Talco: —

metarr. falso

DESCRÍÇÃO MICROSCÓPICA

Cor:

(a) Fissil: quartzo, feldspato,

(b) Fissil: quartzo, feldspato,

C) Composição modal (% vol.): Estimada visualmente

Calculada

Mineral	%
1) quartzo	
2) sericita	
3) clorita	
4) opacos	
5) turmalina	
6)	
7)	
8)	
9)	
10)	

Mineral	%
11)	
12)	
13)	
14)	
15)	
16)	
17)	
18)	
19)	
20)	

D) Descrição dos Minerais e Relações Texturais

A amostra exibe uma cleiração cordônica obliqua ao So. Nota-se a presença de microfissuras impregnadas por óxido de Fe. O quartzo apresenta cristais alongados, curvados, com extensão ligeiramente exfoliante. Acha-se envolvido por finas lamelas de minerais micáceos.

Os minerais acessórios mais significativos são os opacos, ao passo que turmalina é ausente.

Torna-se de uma rocha metápetólica de grau metamórfico fraco.

Clorita - sericita - quartzo zístico

MINEROPAR
MINERAIS DO PARANÁ S.A.

FICHA DE ANÁLISE PETROGRÁFICA

FICHA N.º

PROJETO *METAMORFITOS*

PONTO N.º 05-87

PONTO N.º 05-87 AMOSTRA N.º 05-87 B DATA 21/07/82

PROCEDENCIA RIB. 00 BREJAL

TIPO DE AMOSTRA ROCHA

COLETOR OSCAR SALAZAR Jr

QUADRÍCULA CAMPO LARGO 1:50000

EDIFÍCIA GEOLÓGICA 1:100 000

F 1 F 2

DESCRICAÇÃO DE AFELORAMENTO

Mesma *anestra* OS-87A

DESCRIÇÃO MACROSCÓPICA

Cor: amiga es verdes da

Gran Bretaña tiene o media

Textura granoblastică

2

Lresca

二四

gr. as 1/20 . feldspato (?) . clor. f. 1?/1

Classmate

DESCRICAO MICROSCÓPICA

J. L. V. S.

For full-text access, contact your local library or www.sagepub.com.

REFERENCES

"1546" base

CERTIFICADO DE ANÁLISE PETROGRÁFICA

Interessado . MINEROPAR..... Endereço

Amostra nº . QS-87.B..... Tipo de amostra . Manual.e.lâmina.....

Classificação e/ou relações de campo (outras informações do interessado) .Proveniente da sequência Antinha, cobertura do Grupo Acungui.....

MACROSCOPIA

Cor . Cinza esverdeado escuro..... Estrutura Xistosa (?) Maculada..
 Granulação .. Fina..... Grau de intemperismo Incipiente..... Ataque HCl ..
 Observações

.....

.....

MICROSCOPIA

- A) Textura . Lepidoblástica.....
- B) Granulação: Em rocha aproximadamente equigranular .0,01-0,05 mm.....
 Em rocha inequigranular: Matriz ou base
- Mega componentes
- C) Composição modal (% vol.): Estimada visualmente ... A..... Calculada

Mineral	%	Mineral	%
1) Sericita.....	60-70	8)
2) Quartzo.....	10-20	9)
3) Clorita.....	20-30	10)
4) Opaques.....	0- 5	11)
5) Turmalina, apatita.....	tr	12)
6)	13)
7)	14)

D) Descrição dos minerais e relações texturais Sericita e pouco quartzo, formam uma trama finíssima onde não se distingue com nitidez uma (ou várias ?) xistosidades. Sobre este fundo se desenvolvem pequenos porfiroblastos de Fe-clorita agrupados em anéis com cerca de 0,5 mm de diâmetro. Tais anéis devem compor tridimensionalmente, corpos esféricos ou elipsóidicos, caracterizando máculas, aparentemente desenvolvidas em estágios iniciais de metamorfismo de contato (?). Neste caso, se riem talvez pontos de concentração de material necessário à cristalização de porfiroblastos como corierita, p.ex. (em met.de contato), ou biotita (met.reacional?). Trata-se pois de rocha pelítica metamorfizada regionalmente em baixo grau (f.xisto verde) com possível e incipiente metamorfismo de contato, superimposto. Esta última interpretação poderia se tornar discutível caso esta amostra 87.B... seja do mesmo afloramento de 87 A.....

E) Classificação ... Filito (maculado).....

Data . 24./.11./.82.....

Analista

Paulo Cesar

PROJETO METAMORFITOS PONTO N.º OS-87 AMOSTRA N.º OS-87A DATA 21/07/62
PROCECÊNCIA RIB. DO BREJAL TIPO DE AMOSTRA ROCHA
COLETOR OSORI SALAZAR Jr. QUADRÍCULA CAMP. UAR 60 1:50000
FOLHA GEOLÓGICA CPRT - 1:100000

F1 F2

DESCRÍÇÃO DE AFLORAMENTO

Rochedos de aspecto macio, granulacão fina e média, cores esbranquiçadas, composição quartzo-feldespártica com clorita (?). Textura aparentemente ígnea.

Amostra OS-87 A } Classif. -
 } Mineral.

No mesmo local encontram-se rochas de granulacão fina e média, cinza-esverdeada, compostas quarto feldespártico, (biotita?) (clorita?)

Amostra OS-87 B } Classif.
 } mineral.

DESCRÍÇÃO MACROSCÓPICA

Cor esbranquiçada
Granulacão fina e média
Textura ígnea

Estrutura -
Grau de intensismo fraca

Ativ. HCl m
Minerais identificados quartzo, feldspato, clorita(?)

Classificação metasarcito?, metarolito?

DESCRÍÇÃO MICROSCÓPICA

A. Textura

B. Cr. fácies. Em Fenda arroxeladamente cru granular

Em rocha - granular Marca da base

CERTIFICADO DE ANÁLISE PETROGRÁFICA

Interessado ... MINEROPAR Endereço

Amostra nº ..OS-87.A..... Tipo de amostra ..Manual e lâmina.....

Classificação e/ou relações de campo (outras informações do interessado) ..Proveniente da serra Antinha, cobertura do Grupo Agungui.....

MACROSCÓPIA

Cor ..Pardo amarelado claro..... Estrutura Xistosa, crenulada.....

Granulação ...Fina..... Grau de intemperismo ..Médio..... Ataque HCl

Observações

.....

.....

MICROSCÓPIA

- A) Textura Lepidoblástica.....
- B) Granulação: Em rocha aproximadamente equigranular
- Em rocha inequigranular: Matriz ou base ...0,01-0,05 mm.....
- Mega componentes 0,1-0,2mm (biotita porfiroblastos)
- C) Composição modal (% vol.): Estimada visualmenteX.... Calculada

Mineral	%	Mineral	%
1) Quartzo.....	40-50	8)
2) Sericita.....	40-50	9)
3) Biotita e clorita.....	10-20	10)
4) Zircão, apatita, opacos.....	1- 5	11)
5)	12)
6)	13)
7)	14)

D) Descrição dos minerais e relações texturais .Agregado muito fino, quartzo sericítico, com porfiroblastos de biotita mais ou menos cloritizados. O conjunto define uma xistosidade deformada por 2a, superfície S de crenulação.....

...Rocha originada de metamorfismo regional de baixo grau (f.xisto verde). A partir de pelitos. Porfiroblastos (biotita) se desenvolveriam possivelmente na mesma fase regional; poderiam também aparecer em fase de contato mas neste caso precederiam movimentos responsáveis pela crenulação, já que estão deformados.

...Em desacordo com a informação contida em correspondência encaminhada, esta rocha mostra pelo menos duas superfícies de clivagem ou foliação, embora não muito visíveis na amostra manual.....

.....

.....

E) Classificação ..Filito (Quartzo-sericita xisto).

Data 23./.11/.82..

Analista .. *J. M. G. Ladeira* ..

PROJETO ... Autinha PONTO N.º OS-88. AMOSTRA N.º OS-88. DATA 21/07/82
PROCEDÊNCIA Ribeirão perto a Hervalzinho TIPO DE AMOSTRA ROCHA
COLETOR OSCAR BALAZAR JR QUADRÍCULA CAMPO LARGO 350000
FOLHA GEOLÓGICA CP2M 1:100000

F 1 F 2

DESCRÍÇÃO DE AFLORAMENTO

Blocos em ribeirão, predominando rochas de granulação fina, coloração cinza clara e rósea rosada, de composição quartzoza e predominada por minerais esbranquiçados (clorita em nodulos?). Clivagem endonana obliqua ao declive. Trata-se de metassiltitos, aparentemente afetados por metamorfismo térmico (não se definir a tante térmica).

DESCRÍÇÃO MACROSCÓPICA

Cor cinza clara

Granulação fina

Textura grano-epíctico blástico

Estrutura bandas

Grão de intemperismo fresca

Ataque HCl -

Minerais identificados clorita, quartzo

Glossificações metassilito

DESCRÍÇÃO MICROSCÓPICA

Anisotropia

Exfoliação

Em Rocha extor maciamente equigranular

Em rocha intercalada

Nitriz ou base

C) Composição modal (% vol.): Estimada visualmente

Calculada

	Mineral	%
Banda 1		
1)	quartzo	
2)	sericita	
3)	clorita	
4)	opacos	
5)	turmalina	
6)	zircão	
7)		
8)		
9)		
10)		

	Mineral	%
Banda 2		
11)	quartzo	
12)	sericita	
13)	clorita	
14)	opacos	
15)	turmalina	
16)	zircão	-
17)	apatita	
18)		
19)		
20)		

D) Descrição dos Minerais • Relações Texturais

Banda 1

granulação: fina

textura: granolepidoblástica com uma orientação de cleiação ardo. sua incisão não paralela ao acamamento. Nota-se a presença de nódulos de quartzo + clorita formados, possivelmente, por segregação metamórfica! São também frequentes nódulos de clorita, provavelmente, desprendidos por efeito térmico.

classificação: clorita - quartzo - sericita cisto ou metassilitito noduloso

Banda 2

granulação: fina. Os cistos de quartzo são um pouco mais desprendidos do que na outra banda e, também, este mineral é bem mais frequente.

textura: granolepidoblástica

Hiperbolitificação cruzada planar abrupta. Níveis de opacos marcam a So, localizando-se principalmente na base das camadas.

classificação: clorita - sericita - quartzo cisto

metassilitito noduloso e clorita - sericita quartzo cisto

PROJETO ANTINHA

PONTO N° OS 96 A AMOSTRA N° OS-96 A DATA 23/07/82

PROVENIÊNCIA ESTRADA PROX. RIO BREJAL

TIPO DE AMOSTRA ROCHA

COLETOR OSCAR SALAZAR Jr

QUADRÍGULO CAMPO LARGO

FOLHA GEOLÓGICA CARM (1:100000)

F1 F2

DESCRICAÇÃO DE AFLORAMENTO

Sequência de rochas de granulação fina (metassiltitos) curtos, com níveis maiores quartzosos infundeados.

No ribeirão encontrados blocos de rocha curta, gran média, composição quartzosa, com mircovita em cristais bem desenvolvidos (electroto?). Influência termal?

DESCRICAÇÃO MACROSCÓPICA

Cor: cinza

Granulação: média

Tensão:

Sensação:

Relief: plana

R. à margem:

R. à base: quartzo, mircovita.

Outros:

DESCRICAÇÃO MICROSCÓPICA

Cor: cinza

Tensão:

Tensão:

Anisotropia: simétrica, intensa

Anisotropia:

Anisotropia:

C) Composição modal (% vol.): Estimada visualmente Calculada

Mineral	%	Mineral	%
1) quartzo		11)	
2) cordierita (?)		12)	
3) sericitá		13)	
4) muscovita		14)	
5) ilmenita		15)	
6) andaluzita (?)		16)	
7) turmalina		17)	
8) opacos		18)	
9)		19)	
10)		20)	

D) Descrição dos Minerais e Relações Texturais

A rocha exibe minoestratificação cruzada planar. Observa-se um fundo granoblastico constituído por quartzo e cordierita (?). Sobre este agregado granoblastico desenvolvem-se porfiroblastos poliquiloblasticos de muscovita e ilmenita, que sugerem um evento termal. Nota-se ainda, nódulos de sericitá que, provavelmente, é oriunda do produto de alteração da andaluzita (?).

Os minerais acessórios mais significativos são os opacos e, turmalina, que ocorre esporadicamente.

Trata-se de uma rocha metapelítica afetada por metamorfismo termal.

Hornfels

PROJETO ANTINHA

PONTO N.º OS-97 AMOSTRA N.º OS-97 G DATA 23/07/82

PROCEDÊNCIA R. Breyal

TIPO DE AMOSTRA ROCA

COLETOR OSCAR DA LAZAR JR

QUADRÍCULA CAMPO LARGO 1:50000

FOLHA GEOLÓGICA CPRM 1:100000

F1 F2

DESCRÍÇÃO DE AFLORAMENTO

Rochas de aspecto macio, granular.
lacos média, compostos quartzo com muscovita
de pequeno tamanho, clorita e feldespato (?). Mos-
tro evidências de catoclase.

Pedreiras: mineralogia, classif. (catoclase, angraular, etc.)?

DESCRÍÇÃO MACROSCÓPICA

Cor cinza

Granulação média

Textura grano e grão blástica

Estrutura —

Gravidez mineral fraca

Anel de KCl 72

Minerais identificados quartzo, clorita, muscovita

Classificação

DESCRÍÇÃO MICROSCÓPICA

A Textura

B Gravidez Em Rocas aproximadamente equigranular

C Orientação

Em rocas não granular Manto ou base

CERTIFICADO DE ANÁLISE PETROGRÁFICA

Interessado MINEROPAR..... Endereço

Amostra nº OS - 97-B..... Tipo de amostra Normal e lâmina.....

Classificação e/ou relações de campo (outras informações do interessado) Rocha maciça quartzosa. Sedência. Antipha. Região de Campo Largo. PR.....

MACROSCOPIA

Cor Cinza..... Estrutura Levemente xistosa.....

Granulação Fina..... Grau de intemperismo ... Inicial..... Ataque HCl

Observações

.....

.....

MICROSCOPIA

A) Textura Granoblástica a decussada.....

B) Granulação: Em rocha aproximadamente equigranular 0,1-0,5 mm.....
Em rocha inequigranular: Matriz ou base
Mega componentes

C) Composição modal (% vol.): Estimada visualmente X Calculada

Mineral	%	Mineral	%
1) Quartzo.....	40	8)
2) Muscovita.....	50	9)
3) Clorita.....	5	10)
4) Magnetita.....	5	11)
5) Turmalina.....	tr	12)
6) Caulim (?).....	tr	13)
7)	14)

D) Descrição dos minerais e relações texturais Quartzo, em arranjo granoblástico e muscovita, em plaquetas desorientadas, são os principais componentes desta rocha, aparentemente metamorfosada termalmente. Magnetita é comum em minúsculos cristais, além de clorita magnesiana. Turmalina idiomórfica, esverdeada é acessório comum. Uma leve xistosidade, observada macroscopicamente, se deve a planos espacados de cizalhamento, onde por vezes ocorre filossilicato de baixa birrefringência (caul). Trata-se presumivelmente de um metapelito afetado termalmente (granitos próximo). Por outro lado, não foram gerados minerais tipomorfos deste tipo de metamorfismo. Apenas a textura é sugestiva.

.....

.....

.....

E) Classificação .. Metapelito? (hornfelsico?) .. Núcleo vulcânico? ..

X

PROJETO METAMORFITOS PONTO N.º OS-99 AMOSTRA N.º OS-99 DATA 24/07/82

PROCEDÊNCIA PR. 216 3 IRMOS TIPO DE AMOSTRA ROCHA

COLETOR OSCAR SARAZIN Jr QUADRÍCULA CAMPO RABO 1:50000

FOLHA GEOLÓGICA CRM 1:100000

F 1 F 2

DESCRÍÇÃO DE AFLORAMENTO Seguição de rochas de granulação fina, corpos estriaguiscados e overmelhados, predominando metassolfítitos de composição quartzo-reduíctica. Uma cleiração ardorosa aparece muito bem desenvolvida. A jusante encontrados blocos de rocha cuja cobertura com boulders mais escuras, granulação média com cristais de muscovita aleatórios com até 0,5 cm. (termal ou detritícios).

- Amostra OS-99 { classif. mineral.
mica detritícias?

DESCRÍÇÃO MACROSCÓPICA

c) cuja cobertura e cuja oxidação
granulação média
tem a granoblastica

b) é lisa

grau de temperatura fresca

grau de hidratação 77

minerais presentes quartzo, muscovita,

Outras:

DESCRÍÇÃO MICROSCÓPICA

a) Textura

Em Fenda forte e medianamente espessada

Em corte fino e regular à vez ou base

C) Composição modal (% vol.) Estimada visualmente

Calculada

Mineral	%
1) quartzo
2) muscovita
3) clorita
4) sericitá
5) turmalina
6) ópacos
7)
8)
9)
10)

Mineral	%
11)
12)
13)
14)
15)
16)
17)
18)
19)
20)

D) Descrição dos Minerais e Reações Texturais

A amostra exibe textura porfioblastica e estatificação original plano-paralela. Os porfioblastos de muscovita e clorita desenvolvem-se aleatoriamente na rocha. A matriz é constituída por quartzo que forma um fundo granoblastico associado à sericitá e alguns cristais de clorita.

Como minerais acessórios foram vistos turmalina e ópacos. Trata-se, possivelmente, de uma rocha metapólitica afetada por metamorfismo de contato.

Quartzo horizonte

7,1

PROJETO METAMORFITOS PONTO N.º OS-100 AMOSTRA N.º OS-100 DATA 24/07/82
PROCEDÊNCIA Afl. Ribeirão das Barreiras TIPO DE AMOSTRA
COLETOR OSCAR BALAZAR JR. QUADRÍGULA CAMPO LARGO
FOLHA GEOLOGICA CARM - 1:100000

F 1 F 2

DESCRÍÇÃO DE AFLORAMENTO Encantados blocos de rochas cinza claras granulação fina a média, composta por quartzo e (metamorfitos) e blocos de granulação mais fina cinzas e cinza esverdeadas (metassilíticos), recortados.

Com ambos os tipos alternam níveis estromatizados, com espessuras milimétricas a centimétricas. Localmente, há disseminação de anita. Observada uma clivagem ardósiana, obliqua a So.

Pedra re - classif./ mineralog./ relações de SI e So.

DESCRÍÇÃO MACROSCÓPICA

cinza

fina

grandeza do bloco

fresca

37

quartzo, recortado

metassilítico.

DESCRÍCÃO MICROSCÓPICA

C) Composição modal (% vol.): Estimada visualmente

Calculada

Mineral	%	Mineral	%
1) sericitá		11)	
2) quartzo		12)	
3) clorita		13)	
4) turmalina		14)	
5) ópacos		15)	
6)		16)	
7)		17)	
8)		18)	
9)		19)	
10)		20)	

D) Descrição dos Minerais e Relações Texturais

A amostra apresenta uma direção de cleiração e estratificação original, plano-paralela.

Esta basicamente constituída por sericitá finamente cristalizada. Foi visto também um nível com quartzo, sericitá e clorita de granulação ligeiramente mais grossa. É frequente a presença de pequenos vínculos punctionados por quartzo, contendo o rocha.

PROJETO METAMORFE / ANTINHÁ PONTO N.º 05-124 AMOSTRA N.º 05-124 DATA 24/08/82

PROCEDENCIA Afl. das. VU IUNUUVU TIPO DE AMOSTRA ROCHA

COLETOR OSCAR BALAZAR JR QUADRÍGULA CAMPO LARGO R.B.S.

FOLHA GEOLÓGICA CPRM - 1:100000

F 1

DESCRÍÇÃO DE AFLORAMENTO Aflora conjunto de metaarenosamentos grosseiros, granulometria e composição variável, com fragmentos círculos, granulação média feldopáticos, metacristais finos a microconglomoráticos e metaconglomerados de matriz argosiala com seixos de feldspato rodado quartzo leitoso, fílio e possivelmente quartzo fino. Tamanhos variam de milimétricos a centimétricos, arranados a subarranados.

Admix. encontradas rochas de granulação fina, com cinza, mancheteada por mineral verificado, submilimétrico (clorita).

DESCRÍÇÃO MACROSCÓPICA

Cor cinza

Granulação fina

Textura grano-blastica

Estrutura

Grau de taludeismo fresco

Atm. da H2O

Minerais identificados quartzo, clorita

Classificação metassilítico

DESCRÍÇÃO MICROSCÓPICA

A) Textura

B) G. - cor

Em faca aproximadamente equilíptica

Em faca de cuspide

fina e esparsa

C) Composição modal (% vol.): Estimada visualmente

Calculada

Mineral	%
1) Semicita	
2) opacos	
3) quartzo	
4) turmalina	
5)	
6)	
7)	
8)	
9)	
10)	

Mineral	%
11)	
12)	
13)	
14)	
15)	
16)	
17)	
18)	
19)	
20)	

D) Descrição dos Minerais e Relações Texturais

Macroscopicamente, a amostra exibe uma intercalação de estruturas mixas de deposição, ora apresentando uma grande quantidade de pontuações amarelo-ocre, ora quase isento destas pontuações.

Ao microscópio, a estatificação original (plano-paralela) é bem salientada. Esporadicamente, vê-se pequenos nódulos de minerais opacos associados à micas, possivelmente, desenvolvidos em evento tectônico.

Trata-se de uma rocha metapélítica de grau metamórfico incipiente, afetada por um evento tectônico.

Obs: Foram vistos, também, fragmentos cílicos de anfíbito ou quartzo.

Metassilito nodular hornfítico

PROJETO ANTINHA PONTO N.º OS 133 AMOSTRA N.º OS 133 DATA 26/08/82
PROCEDÊNCIA Rio Antinha TIPO DE AMOSTRA ROCHA
COLETOR OSCAR SALAZAR Jr QUADRÍCULA CAMPO LARGO
FOLHA GEOLÓGICA CPRM - 1:100000

F1 F2

DESCRÍÇÃO DE AFLORAMENTO

Seguiência de metassulfitos, cinza-esverdeados, composta por quartzo, renacita e clorita. Através aparecem intercaladas rochas do coloração esverdeada. Aspecto macio compostas por quartzo, clorita, renacita (feldspato?), e portfiroblastos de mineral exuso, vulcanítico, com distribuição aleatória. (?)

Pedra: nº mineralogia, classificação, observação de possíveis efeitos metamórficos de contato.

DESCRÍÇÃO MACROSCÓPICA

Cor cinza esverdeado

Granulação fina

Textura -

Estrutura -

Grão de m. mineralística fraca

Audição H2O -

Materiais visíveis: quartzo, clorita, renacita

Cristais:

DESCRÍCIAO MICROSCÓPICA

A. Textura

Em R. o grão é grande equilíptico

Em M. o grão é grande equilíptico

C) Composição modal (% vol.): Estimada visualmente

Calculada

Mineral	%	Mineral	%
1) Sericita		11)	
2) quartzo		12)	
3) clorita		13)	
4) cloritoide		14)	
5) opacos		15)	
6) turmalina		16)	
7)		17)	
8)		18)	
9)		19)	
10)		20)	

D) Descrição dos Minerais e Relações Texturais

A amostra apresenta microestatificação cruzada acanalada, textura granolepidoblástica e porfioblástica. São frequentes as microfissuras preenchidas por óxido de Fe e a presença de veios hidrotomais de quartzo e clorita.

Notou-se ainda, numa certa intercalação de níveis de granulação mais grossa, constituídos por quartzo e micas, intercalados com níveis mais finos, basicamente micáicos.

Nos níveis mais micáicos ocorrem porfioblastos (0,5 a 1mm.) de cloritoide contornados pelos minerais micáicos (pré ou sintéticos). O cloritoide mostra cristais com malha polisintética e estrutura em ampulheta. Englobam poiquiloblasticamente minerais da matriz. Algumas destas níveis são vistos nodulos ou manchas mais enriquecidas em clorita.

Trata-se de uma rocha pélítica rica em alumínio e Fe^{+3} , metamorfizada regionalmente a basco grau de metamorfismo.

Metassilito noduloso

PROJETO ATTINHA

PONTO N° 05-134 AMOSTRA N° 05-134 A STA 26/08/82

PROCEDÊNCIA RIO ATTINHA

TIPO DE AMOSTRA ROCHA

COLETOR OSCAR SALAZAR JR

QUADRÍCULA CAMPO LARGO

K 35

FOLHA GEOLOGICA CPRM

F 1 F 2

DESCRICAÇÃO DE AFLORAMENTO

Rochas de aspecto magro, granular-moida, coloração cinza clara, compondo quartzo e mica-cristalita (clorita?) clorito epidotito! Ríeis intercalados, coloração suavemente esverdeada, definida por pequenos veios e/ material esverdeado - veios vulcânicos.

A seqüência de rochas é de este para oeste: arenito fértil, flocos, predominante (micaschitos), com mica-cristais ou ricos veios gessosos subordinadas.

DESCRICAÇÃO MACROSCÓPICA

cor: cinza clara

textura: moida

veios: gesso brilhante

veios: ferro

minerais: quartzo, clorita (?) mica-cristalita

metamorfismo:

DESCRICAÇÃO MICROSCÓPICA

C) Composição modal (% vol.): Estimada visualmente

Calculada

Mineral	%	Mineral	%
1) quartzo		11)	
2) muscovita		12)	
3) sericitá		13)	
4) clorita		14)	
5) opacos		15)	
6) andaluzita (?)		16)	
7)		17)	
8)		18)	
9)		19)	
10)		20)	

D) Descrição dos Minerais e Relações Texturais

A amostra exibe microestratificação plano-paralela. Nota-se a presença de um voo hidrotermal constituído por quartzo e clinocloro (granulação mais desenvolvida do que no restante da rocha), posicionado obliquamente em relação ao acamento.

Observa-se um fundo de quartzo de tamanho relativamente variado, associado à finas palhetas de sericitá, provavelmente oriunda do produto de alteração da andaluzita. Foram também vistos microporfiroblastos de muscovita poiquiloblastica e agregados algo radiados de clinocloro, desenvolvidos em evento térmico. Sobre esta mineralogia acham-se dispersos aleatoriamente cristais de opacos, com formas irregulares, tamanho variado.

Trata-se de uma rocha metapática afetada por evento de metamorfismo térmico.

Homfels

PROJETO ATTINHA

PONTO N.º 05-135 AMOSTRA N.º 05 135 DATA

PROCEDÊNCIA RIO ATTINHA

TIPO DE AMOSTRA COCHA

COLETOR OSCAR BARAZAR Jr

QUADRÍCULA - CAMPO 14260 K.F.S. 1:60000

FOLHA GEOLÓGICA CPN 1:100000

F1 F2

DESCRÍÇÃO DE AFLORAMENTO

Sequência de metassilicatos, em geral cinza esverdeados, com intercalações de rochas de granulação media a grossa, (quartzo, clorita e grande cristais de mica-schist distribuídos aleatoriamente).

Além, observado intercalado de rocha de granulação fina, com esverdeada, de composição quartzo-sa, com sericitita-clorita e feldspato (?). Amostra 05-135.

Fecho na mineralogia, classif. (feldspato ?)

DESCRÍÇÃO MICROSCÓPICA

cinza esverdeado, ou, esverdeado

7144

metablastica

minerais: feldspato

71

quartzo, sericitita, clorita

metaschistos

DESCRIÇÃO MICROSCÓPICA

7144

minerais: feldspato, quartzo, mica-schistos

CERTIFICADO DE ANÁLISE PETROGRÁFICA

InteressadoMINEROPAR..... Endereço

Amostra nº ...QS-135..... Tipo de amostra ..Manual.e.lâmina.....

Classificação e/ou relações de campo (outras informações do interessado) .Proveniente da seqüência Antinhe,. cobertura do Grupo Açuengui.....

MACROSCOPIA

Cor ...Verde.claro..... Estrutura ..Bendada.fina.....

Granulação ..Finas..... Grau de intemperismo ..Superficial... Ataque HCl --.

Observações ..Rocha com espasadas e muito finas camadas esbranquiçadas entre outros espessas em diferentes tons de verde,.....

.....

MICROSCOPIA

- A) Textura ..Lepidoblástica.....
- B) Granulação: Em rocha aproximadamente equigranular .0,01-0,04 mm.....
Em rocha inequigranular: Matriz ou base
Mega componentes
- C) Composição modal (?) vol.): Estimada visualmente ...A..... Calculada

Mineral	%	Mineral	%
1) Clorita.....	30-40	8)
2) Sericita.....	30-40	9)
3) Quartzo.....	20-30	10)
4) Fáscias.....	1- 5	11)
5) Turmalina,apatita.....	tr	12)
6) Parfibroblastos sericitizados....	13)
7)	14)

D) Descrição dos minerais e relações texturais .Quartzo, sericita e clorita formam trama finíssima suborientada. Há alguns leitos finos, paralelos e regulares, menos cloríticos e mais quartzosos e/ou sericiticos. Espalhados pela lâmina, mais ou menos orientados, observam-se corpos com contornos por vezes geométricos, sugerindo suas secções, cristais drizmáticos de base retangular ou losangular. Estão tomados por agregado fino sericitico, às vezes quartzoso; sugerem fortemente a preexistência de porfibroblastos (andaluzita?) agora retrómetamorfizados.

Trata-se sem dúvida de um metapelito submetido a metamorfismo regional dinamotermal de baixo grau (f.xisto verde), seguido possivelmente de metamorfismo de contato (?) com retrómetamorfismo ainda posterior.

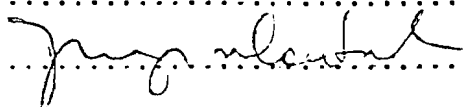
.....

.....

E) ClassificaçãoFilito (Sericita-clorita xisto).....

Data .23./.11./.82..

Analista



PROJETO ANTINHA

PONTO N.º 05136 AMOSTRA N.º 05136 DATA 26/10/82

PROCEDÊNCIA Rio Antinhan

TIPO DE AMOSTRA ROCHA

COLETOR D. COELHO SAUZAZAR 22

QUADRÍCULA CAMPO LARGO PLS 1:500000

FOLHA GEOLÓGICA CARM 1:1000000

F1 F2 E

DESCRÍÇÃO DE AFLORAMENTO

Sequência de rochas de granulação fina predominando mafonemas finos.
~250 m, rochas de granulação fina a média com vários pontilhados de numerosas alterações (carbonatadas), submetamórficos e metamórficos, mais ou menos abundantes (nos níveis) - sulfetos (?). A composição da rocha é essencialmente quartzo clorítico.

DESCRÍÇÃO MACROSCÓPICA

Cor esverdeada
textura fina a média

Tons

Estrutura fragmentada

Tamanho de grãos 2-5 mm

Forma

quadras, clorofito

Fissuras

DESCRÍÇÃO MICROSCÓPICA

Cor

Tamanho

grãos em tamanhos 1-2 mm

1-2 mm

C) Composição modal (% vol.): Estimada visualmente

Calculada

Mineral %

Mineral %

- 1) quartzo
- 2) clorita
- 3) sienita
- 4) opacos
- 5) apatita
- 6) turmalina
- 7)
- 8)
- 9)
- 10)

- 11)
- 12)
- 13)
- 14)
- 15)
- 16)
- 17)
- 18)
- 19)
- 20)

D) Descrição dos Minerais e Relações Texturais

Rocha bandada apresentando níveis mais silicosos intercalados com níveis mais micáceos. É observado 50 - mineroestatificação plano-paralela- a Si. Foi visto também um sistema de fissuras perpendiculares à Si, com preenchimento de óxidos de Fe.

A rocha desenvolve textura granolepidoblastica. Grilos de quartzo, com formas irregulares, acham-se envoltos por minerais micáceos, em geral, clorita.

É notável a presença de minroporfiroblastos de minerais opacos oxidados (magnetita?), que em amostra de mão são mais visíveis em determinados níveis. Localmente, observa-se também, cristais de muscovita, mais desenvolvidos, ligeiramente desorientados.

Trata-se de uma rocha metápetítica de baixo grau de metamorfismo.

Sienita-clorita-quartzo xisto

MINEROPAR
MINERAIS DO PARANÁ S.A.

FICHA DE ANÁLISE PETROGRÁFICA

FICHA N°

PROJETO ANTINHA

PONTO N.º OS-137 AMOSTRA N.º OS-137-A DATA 27/08/82

PROCECÉNCIA RIO ANTINHA

TIPO DE AMOSTRA ROCHA

COLETOR OSCAR SALAZAR Jr

QUADRÍCULA CAMPO LARGO

OLHA GEOLÓGICA - 2000 - 11 - 1

FOLHA GEOLÓGICA CPRM - 1:100000

F 1 F 2

DESCRÍÇÃO DE AFLORAMENTO

DESCRIÇÃO DE AFLORAMENTO Sequência de rochas da granulação fina, cores esverdeadas, raros níveis mais escuros intercalados, composição quartzo-clorítica (?) (sericita?), bastante deformadas, recristalizadas. A montante encontram-se rochas clásticas predominando metacristalitos, metarexitos, e a jusante encontram-se os mármores da Formação Água Clara. Estas rochas (OS 137-A) podem ser desenvolvidas ou afetadas por fôrmaneto (Sclorítos?).

Claviger ordensis beim dessen-
solvida

DESCRICAÇÃO MACROSCÓPICA

... curva eswendeler

Granulação fina

15

卷之三

Si preferirà amosta fresca

ANNE HOB MĀU REAGE

Micaschistos quartzo, clorita (?) , renata (?)

filonito metassilite (?)

DESCRIÇÃO MICROSCÓPICA

214 M. J. M.

En Espana, ante un ataque de este tipo, las autoridades competentes tienen la obligación de informar a la ONU.

En fin de jeu, un échiquier équivalant:

For $\alpha = \beta$, $\gamma = 0$, $\delta = 1$ $K_{\text{eff}}^{\text{MB}} \approx \text{base}$

C) Composição modal (% vol.): Estimada visualmente

Calculada

Mineral	%	Mineral	%
1) sericitá		11)	
2) quartzo		12)	
3) clorita		13)	
4) opacos		14)	
5) turmalina		15)	
6) zircão		16)	
7)		17)	
8)		18)	
9)		19)	
10)		20)	

D) Descrição dos Minerais e Relações Texturais

A amostra apresenta textura grano-lepidoblástica com sinal de cataclase. Observam-se núcleos mais micáicos intercalados com núcleos silicosos. Nos núcleos mais silicosos nota-se um certo engalhamento dos minerais e recristalização do quartzo.

A textura da rocha é desenvolvida por uma xistosidade catodástica e uma cleiração de fratura (microfissuras).

Nota-se também, a presença de microporofiblastos de clorita intercrescida com sericitá.

Trata-se de uma rocha metapélítica, de baixo grau metamórfico, que sofreu cataclase

Filonito

PROJETO ANTINHA PONTO N.º 05-143 AMOSTRA N.º 05-143 DATA 28-8-82

PROCEDÊNCIA Rio Antinha TIPO DE AMOSTRA ROCHA

COLETOR OSCAR SALAZAR JE QUADRÍCULA CAMPO LARGO

FOLHA GEOLÓGICA CARM - 1:100000

F 1 F 2

DESCRÍÇÃO DE AFLORAMENTO

Sequência de metarnítitos, de coluna curva evedada, locamente com lâminas nulinhas, mais escaras. Composição provável: quartzo, calcita, clorita. Clivagem ortorromã bem desenvolvida, em geral obliqua a 50°, evidenciando padrão de dobramento mais aberto.

Aqui, amostra de rocha de granulação fina, com tecnicamente evedada com pontinhos de mineral escuro, anisomórfico, com zonas ortorromãs (?) intercaladas níveis amarelados, alterados (carbonáticos?)

DESCRÍÇÃO MACROSCÓPICA

Cor curva evedada

Granulação fina

Textura granulada blástica

Estrutura clivagem ortorromã

Grau de intensificação amarela fresca

Reag. a HCl

Naturais: quartzo, calcita?

Classificação: quartzo-feld.

DESCRÍÇÃO MICROSCÓPICA

1. Textura

2. Cr. Em forma de vértice de pirâmide

Muito ou base

CERTIFICADO DE ANÁLISE PETROGRÁFICA

Interessado MINEROPAR Endereço

Amostra nº OS-143 Tipo de amostra .. Manual e lâmina

Classificação e/ou relações de campo (outras informações do interessado) .. Proveniente da seqüência Antinha, cobertura do Grupo Açuengui

MACROSCOPIA

Cor .. Verde médio Estrutura Xistosa

Granulação .. Fina Grau de intemperismo .. Ausente Ataque HCl

Observações Notam-se alguns porfiroblastos placoídeos, cinza azulados com até 1 cm. de comprimento e, numerosos microporfiroblastos róseos, de até 0,4 mm

.....

MICROSCOPIA

- A) Textura .. Lepidoblástica
- B) Granulação: Em rocha aproximadamente equigranular
- Em rocha inequigranular: Matriz ou base 0,01-0,03 mm
- Comprimento de Mega componentes 0,4 mm (ilm.) 1,0 mm (cloritoide)
- C) Composição modal (% vol.): Estimada visualmente ... X Calculada

Mineral	%	Mineral	%
1) Quartzos	<u>20-30</u>	8)
2) Sericita	<u>20-30</u>	9)
3) Clorita	<u>20-30</u>	10)
4) Ilmenita leucox. Porfiroblastos 1-5	<u>tr.-1</u>	11)
5) Cloritoide, Porfiroblastos	<u>tr.-1</u>	12)
6)	13)
7)	14)

D) Descrição dos minerais e relações texturais .. Grande proporção de palhetas sub-paralelas de clorita e sericita, em fundo quartzoso muito fino, definem uma trama lepidoblástica, levemente ondulante ao redor de microporfiroblastos de ilmenita .. (tabletes totalmente leucoxenizados e algo limonitizados) e grandes porfiroblastos de cloritoide azulado. Fraturas soldadas, alterações em pontos de compressão mais intensa, sombras de pressão giradas e microgranulação também deformada, atestam que os porfiroblastos de cloritoide (posteriores aos de ilmenita) são sincinéticos. Trata-se certamente de um pelito ferruginoso metamorfizado regionalmente em baixo grau (fácies xisto verde) com porfiroblastos desenvolvidos nesta mesma fase metamórfica ..

.....

.....

E) Classificação Eilito. (sericita-clorita-xisto). porfiroblástico e doritoide e ilmenito.

Data 25./11./..82..

Analista *J. M. G. Alves*

PROJETO ANTINHAPONTO N.º 05.169 AMOSTRA N.º 05.169 DATA 26/01/83PROCEDÊNCIA ESTRADA RBS - TRÊS Irmãos

TIPO DE AMOSTRA

COLETOR

QUADRÍCULA

FOLHA GEOLÓGICA

F1 F2

DESCRÍÇÃO DE AFLORAMENTO

Partil de cota da cam passagem gradacionel de metarenitos horizontais (microcristalina e clara ferro), para metassulfitos cuja intercalados com metassulfitos esbranquecidos (branca e amarelo)

Níveis de metaconglomerado com rechas esbranquecidas de metarenitos suaves e muito pouco matriz. Aspecto de brecha.

Arostia pl petrografia

Pede-se: classificação → canglomerado (?)

DESCRÍÇÃO MACROSCÓPICA

Cor Branca

Granulação Seios de granulação média e matriz fina

Textura

Estrutura

Grado de infiltração: fino

2 - 100

Máxima infiltração: quarto

Classificação: canglomerado

DESCRÍÇÃO MICROSCÓPICA

1 - 100

2 - 100 Em: Fractura descomponível, compacta

Em: Fractura irregular

Máx. de 50%

CERTIFICADO DE ANÁLISE PETROGRÁFICA

Interessado ... MINEROPAR Endereço
 Amostra nº .. 08 - 169 Tipo de amostra . Manual e duas lâminas
 Classificação e/ou relações de campo (outras informações do interessado) Semântica.
 Antinhas - Estrada RBS - Três Irmãos - PR - Metaconglomerado

MACROSCOPIA

Cor .. Cinza clara Estrutura Maciça, conglomératica
 Granulação .. Variável Grau de intemperismo Nulo Ataque HCl - ...
 Observações Grânulos, maiores que 2 mm até seixos quartzosos, arredondados e achados, com até 2 cm de diâmetro maior, se acumulam compactamente, com pouca matriz quartzosa, avermelhada,

MICROSCOPIA

- A) Textura clástica, psefítica (blastopsefítica)
- B) Granulação: Em rocha aproximadamente equigranular
- Em rocha inequigranular: Retirou base na matriz; 0,05 mm
- Megacomponentes nos seixos; 0,3 mm
- C) Composição modal (% vol.): Estimada visualmente Calculada

Mineral	%	Mineral	%
1) Quartzo	97	8)
2) Pímento férreo	1	9)
3) Sericita	1	10)
4) Turmalina, mineral granular	1	11)
5)	12)	'
6)	13)
7)	14)

D) Descrição dos minerais e relações texturais Todos os seixos e grânulos, são de quartzita (recristaliza de quartzos e/ou quartzo arenitos) exibindo textura granoblástica poligonal submilimétrica (0,3 mm). Em alguns locais os seixos mostram os efeitos de forte deformação, como exibido pelos cristais de quartzo, componentes, à matriz também é quartzosa, granoblástica, em granulação bem mais fina que a dos seixos. Incorpora alguma sericita, pímento hematítico e raros outros minerais, inclusive um tipo fibroso de turmalina. Linhas de inoluções orientadas sem deflexão através de muitos cristais de quartzo, em seixos, revelam que houve recristalização, com poligonização, a partir de maiores cristais:

E) Classificação ... Meta-quartzo conglomerado

Data 8.../10.83

Analista ...

D. S. D. S.

PROJETO AGTINA

PONTO N.º OS 174 AMOSTRA N.º OS 174 DATA 07-04-83

PROCEDÊNCIA *Prec. Rio Meirinhos*

TIPO DE AMOSTRA Locha

COLETOR Oscar Sauer

QUADRÍCULA..... 674000 63200

QUADRÍCULA 67000 63200

FOLHA GEOLÓGICA CPTM 1:100.000

F 1 F 2

DESCRICA DE AFLORAMENTO

Rocas de aspecto marrón, verde
oscuro, compuestas antibioticícas (el feldespato)
(picorriente) Rocas formadas por metamorfismo.

Peces e vertebrados se algunes islas
sección 2da.

DESCRICAÇÃO MACROSCÓPICA

Car - versch. - Forme

Granada 726 c. 2

152

Environ Biol Fish

2. 00 PM - 3.00 PM *15000 E*

$$A_{\mu\nu} = \partial_\mu A_\nu - \partial_\nu A_\mu - \frac{1}{e} \epsilon_{\mu\nu\rho\sigma} F^{\rho\sigma}$$

© 2011, 2013

DESCRIÇÃO MICROSCÓFICA

卷之三

En el caso anterior, el resultado es que el sistema de ecuaciones no tiene solución.

C) Composição modal (% vol.): Estimada visualmente

Mineral	%
1) augita	
2) hyperstênio	
3) plagioclásio (labradorita)	
4) óxidos (ilmenite, magnetita)	
5)	
6)	
7)	
8)	
9)	
10)	

Mineral	%
11)	
12)	
13)	
14)	
15)	
16)	
17)	
18)	
19)	
20)	

D) Descrição dos Minerais e Relações Texturais

A amostra exibe textura granular hidromórfica. Os cristais de plagioclásio acham-se, às vezes, envoltos ópticamente pelos piroxénios.

Hyperstênio gábro

D. S. L.

PROJETO ANTINHÁ

PONTO N.º

AMOSTRA N.º 05.177

DATA 9.10.4.183

PROCEDÊNCIA ESTRADA II REG TACAMILCA

TIPO DE AMOSTRA ROCHA

COLETOR OSCAR ELAZAR JR

QUADRÍCULA CAMPO LARGO

FOLHA GEOLÓGICA CERON - 1:100.000

F1 F2

DESCRÍÇÃO DE AFLORAMENTO

Marmore impuro, foliado, curto: liso e cinza claro. Apresenta o aspecto do marmore da fumosa Água Clara mas nas proximidades aparecem os metacalcários físicos da Vila Franca, finíssimos, amarelos, magro. Direcione nas proximidades.

Pedreiras - verificação foliação e direção afunilada terminal do leito.

Mineralogia

DESCRÍÇÃO MACROSCÓPICA

Cor CINZA CLARO

Granulação FINA A MÉDIA

Textura EXTRATO

Estrutura EXTRATO

Grau de intempérie FRESCA

Ação HCl DÉNOD. INTEN.

Minerais detectados CARBONATO SELENITA

Classificação CALCAREO MARMORE IMPURÍSSIMO

DESCRÍÇÃO MICROSCÓPICA

A. Textura

B. Granulação

Em Rocha estruturalmente ecógrangular

Em rocha indistinta

Matrix ou base

C) Composição modal (% vol.): Estimada visualmente

Calculada

Mineral

%

Mineral

%

- 1) carbonato
- 2) quartzo
- 3) Sericita
- 4) clorita
- 5) turmalina
- 6) opacos
- 7)
- 8)
- 9)
- 10)

- 11)
- 12)
- 13)
- 14)
- 15)
- 16)
- 17)
- 18)
- 19)
- 20)

D) Descrição dos Minerais e Relações Texturais

A amostra exibe textura granolepidoblástica. Os cristais de carbonato e quartzo acham-se ligamente alongados, com tendências à orientação. Localmente, observam-se alguns agregados de quartzo em contato com minerais opacos. Os minerais opacos formam, muitas vezes, microperíodoquloblastos orientados segundo a orientação da rocha.

Os minerais miáicos ocorrem entre os cristais de carbonato e quartzo e compõem à rocha duas orientações de existência bastante nítidas.

Trata-se de uma rocha carbonática impura afetada por metamorfismo regional de grau fraco.

Sericita - quartzo - calco xisto

D. 11

PROJETO ANTINHA

PONTO N.º OS 180 AMOSTRA N.º OS 180 DATA 14.10.183

PROCEDÊNCIA ESTRADA R.B.S-CANELEDO

TIPO DE AMOSTRA ROCHA

COLETOR OS 042 SACARAZAR JR

QUADRÍCULA CAMPO LARGO R.B.S 1:50000

FOLHA GEOLOGICA CPBM

1:100.000

F1 F2

DESCRÍÇÃO DE AFLORAMENTO

Rocha curva com a enveldeção aspecto
moço, os de alteração amareloada, composta
por folhamento.
Encontram-se fácies, e com desenvolvimento
muito pouco.

Pedras claras e marrons.

DESCRÍÇÃO MACROSCÓPICA

Cor verde-claro

Granulação macia

Textura

Estrutura

Criação de intercâmbio

Ataque HCl

Nenhuma identificação entre as placas

Classificação

DESCRÍCÃO MICROSCÓPICA

A. Textura

B. Estrutura

Em forma de granular ou granular

Em forma de granular

Metálico ou base

C) Composição modal (% vol.): Estimada visualmente

Calculada

Mineral	%
1) hornblenda	
2) plagioclásio	
3) quartzo	
4) clorita	
5) biotita	
6) opacos	
7) epidoto	
8) zoisita	
9)	
10)	

Mineral	%
11)	
12)	
13)	
14)	
15)	
16)	
17)	
18)	
19)	
20)	

D) Descrição dos Minerais e Relações Texturais

A amostra exibe cintais de anfíbolio formando uma textura levemente foliada, com sinais de catâclise. São frequentes as microfissuras preenchidas por opacos limonitizados, quartzo e, algumas vezes, por biotita. A hornblenda altera-se localmente para clorita.

Os anfíbolios acham-se em contato com massas irregulares de plagioclásio totalmente sassuritizados (alterados para epidoto e zoisita). Foram vistos ainda, alguns cintais de quartzo intersticial. Os opacos são acessórios bastante frequentes.

Metabásito

PROJETO AYTINHA

PONTO N.º OS-181 AMOSTRA N.º OS-181 DATA 15.10.183

PROCEDÊNCIA FOTO 51226

TIPO DE AMOSTRA ROCKS

COLETOR OSCAR DALAZAR

QUADRÍCULA CAMPO LARGO

FOLHA GEOLOGICA CPRM 1:100000

F 1 F 2

DESCRÍÇÃO DE AFLORAMENTO

Rocas alteradas, eximeitadas e estriadas
com alternância creniforme. Encrustação
fina, com silex intermisto.
Abixo, altero é rocha mais fresca, envolvida
numa gleba que tem desenvolvido
Amostra OS-181
Peculiar - micrometologia; foliações; classif.

Abixo, altero rocha basica, com depósitos
partidos e quartzo feldspártico (graneiro?)

Amostra OS-181-A

DESCRÍÇÃO MACROSCÓPICA

Cor ENVELHECIDA

Granulação FINA

Textura

Es. ótico

Grau de maturidade FRENTE

Ação HCl IN

Ação dil. Álcool QUARTZO REACTA

Cristalização

DESCRÍÇÃO MICROSCÓPICA

A. Peculiar

B. Peculiarmente equigranular

C. Peculiar

D. Peculiar

C) Composição modal (% vol.): Estimada visualmente

Calculada

Mineral	%
1) <i>semita</i>	
2) quartzo	
3) clorita	
4) biotita (?)	
5) turmalina / acessórios	
6) opacos	
7)	
8)	
9)	
10)	

Mineral	%
11)	
12)	
13)	
14)	
15)	
16)	
17)	
18)	
19)	
20)	

D) Descrição dos Minerais e Relações Texturais

A amostra apresenta folhetos muito finas de semita, pequenas pontuações de opacos, em um fundo quartzoso também muito fino, conferindo a rocha uma orientação de xistosidade. Só (ou clivagem) bastante nítida, ao redor de microporfioblastos de clorita e, muito raramente, biotita (?) em formação.

Observa-se um acamento que forma um ângulo oblíquo de aproximadamente 25° com a orientação da rocha.

Foram vistas pequenas microfraturas preenchidas por opacos finamente cristalizados. Torna-se importante salientar a ocorrência de níveis estruturais e descontínuos de quartzo de granulação pouca coisa mais grossa do que a do restante da rocha.

Os porfioblastos de clorita são sintectônicos (deformam a xistosidade) ou seja, eles foram formados no mesmo evento que provocou a xistosidade (ou clivagem).

Nota-se ainda a presença de alguns nódulos ou lentes de composição mais quartzosa, que podem representar fragmentos de rocha original (metagranulite?).

A associação mineralógica da rocha (semita - quartzo - clorita) sugere um metamorfismo regional de grau intermediário.

Filito noduloso

PROJETO ALTO PARANAÍBA

PONTO N° OS 181 AMOSTRA N° OS 181 DATA 15/10/83

PROVENIENCIA 7500 S 1226

TIPO DE AMOSTRA ROCHA

COLETOR CRISTIANE ZALAZARINI JE

QUADRÍCULA CAMPOS LARGO 1:10000

FOLHA GEOLÓGICA SPBM 1:100000

F 1 F 2

DESCRIÇÃO DE AFLORAMENTO

Mesmo ponto, descrito p.
anterior OS 181

Pedra rasa, clara

CARACTERÍSTICAS DA PEDRA

laminar e fina

branca

laminar

laminar

laminar e fina

laminar e fina

CARACTERÍSTICAS DA PEDRA

profunda

granítica

C) Composição modal (% vol.): Estimada visualmente

Calculada

Mineral	%	Mineral	%
1) plagioclásio (andesina)	11)
2) augita	12)
3) hornblenda (rara)	13)
4) biotita (rara)	14)
5) apatita	15)
6) ópacos	16)
7)	17)
8)	18)
9)	19)
10)	20)

D) Detecção dos Minerais e Relações Texturais

Microdiorito peráfico

D. M.

11 05 02

MINEROPAR
MINERAIS DO PARANÁ S.A.

FICHA DE ANÁLISE PETROGRÁFICA

FICHA N°

PROJETO AÇU TUYUCA

PONTO N.º 03.182 AMOSTRA N.º 03.182 DATA 15.04.183

PROCEDÊNCIA 51226

X
TIPO DE AMOSTRA

COLETOR OSCAR CALAZAR JR QUADRÍCULA CAMPO LARGO

FOLHA GEOLOGICA CPEN 1:100.000

F1 F2

DESCRICAÇÃO DE AFLORAMENTO

Rochas basálticas frias fundidas.
granulação fina, colônias cuja campanha é feita
excentrica, encrustada por numerosos espinhos
quadrados. Uma clivagem bem desenvolvida.

DESCRICAÇÃO MACROSCÓPICA

Cor cinza escuro

Granulação fina

Textura legiramente plástica

Estrutura

C. de interpenetração fina

A. fina

Máculas amarelo-óxido, claras pericidas

Característica metropolítica nodulosa

DESCRICAÇÃO MICROSCÓPICA

Ex. Testem.

Ex. Rocha amarelecida e carbonizada

Ex. Rocha amarelecida

Máculas amare

C) Composição modal (% vol.): Estimada visualmente

Calculada

Mineral %

Mineral %

- 1) serita
 2) quartzo
 3) clorita
 4) biotita (?)
 5) turmalina } acessórios
 6) opacos
 7)
 8)
 9)
 10)

- 11)
 12)
 13)
 14)
 15)
 16)
 17)
 18)
 19)
 20)

D) Descrição dos Minerais e Relações Texturais

Nessa amostra da OS-181, só que a rocha
 está mais fresca

Filito modulado

MINEROPAR
MINERAIS DO PARANÁ S.A.

FICHA DE ANÁLISE PETROGRÁFICA

FICHA N°

PROJETO Artista

PONTO N.º 05185 AMOSTRA N.º 185 DATA 22/04/93

PROCEDEDÊNCIA

TIPO DE AMOSTRA

COLETOR OSCAR

... QUADRÍCULA

FOLHA GEOLÓGICA

F 1 □ F 2 □

DESCRICAÇÃO DE AFLORAMENTO

próximo ao leito do rio

Afloramientos en bloques metálicos, elípticos. Textura vanoícel porosa, siempre granular, con perlitas de feldspato rosado.

Estructuras cruzadas, gráficas, etc.

DESCRICAÇÃO MACROSCÓPICA

... *Exx.*

Granular gneiss in micaconglomerations

gross - post-inflammation

... grandiosos, cruzados

... e, con le modifiche parzialmente alterate

202 100 200 200

• *En la Lumbre* a *Quinto, te dejo lo*

Calcareous microconglomerate ARCOIANO

DESCRICAO MICROSCOPICA

370 J. R. L. G. VAN DER

1000 JOURNAL OF CLIMATE

Les hydrocarbures macromoléculaires

Environ Monit Assess (2007) 130:301–307

J.4277.2 00 0259

C) Composição modal (% vol.): Estimada visualmente

Calculada

Mineral

%

Mineral

%

Mineral	%
1) quartzo	—
2) plagioclássio	—
3) micaclínio	—
4) epidoto	—
5) sericitá	—
6) clorita	—
7) biotita	—
8) granada alterada para clorita	—
9) e biotita (raia)	—
10) titanita	—

11) zircão	—
12) opacos	—
13)	—
14)	—
15)	—
16)	—
17)	—
18)	—
19)	—
20)	—

D) Detalhes das Minerais e Relações Texturais

A amostra exibe perfioclastos de muquartzito, sericita-xisto, quartzo, plagioclássio sericitizado ou saussuritizado, micaclínio, titanita e opacos. Esses perfioclastos acham-se envolvidos por uma matriz constituída por sericita, biotita (raia), clorita, opacos e minerais fôlicos microscópicos.

Observam-se microfaias na rocha. Nessa microfaias nota-se um certo alinhamento dos minerais da matriz.

Nicoconglomerado arciano

17 05 83

Prof. Dr. J. A. P. S. P. M.

MAPA GEOLÓGICO

CONVOCATÓRIES

NORTE



SITUAÇÃO

POSIÇÃO DA FOLHA

ESCALA GRAFICA

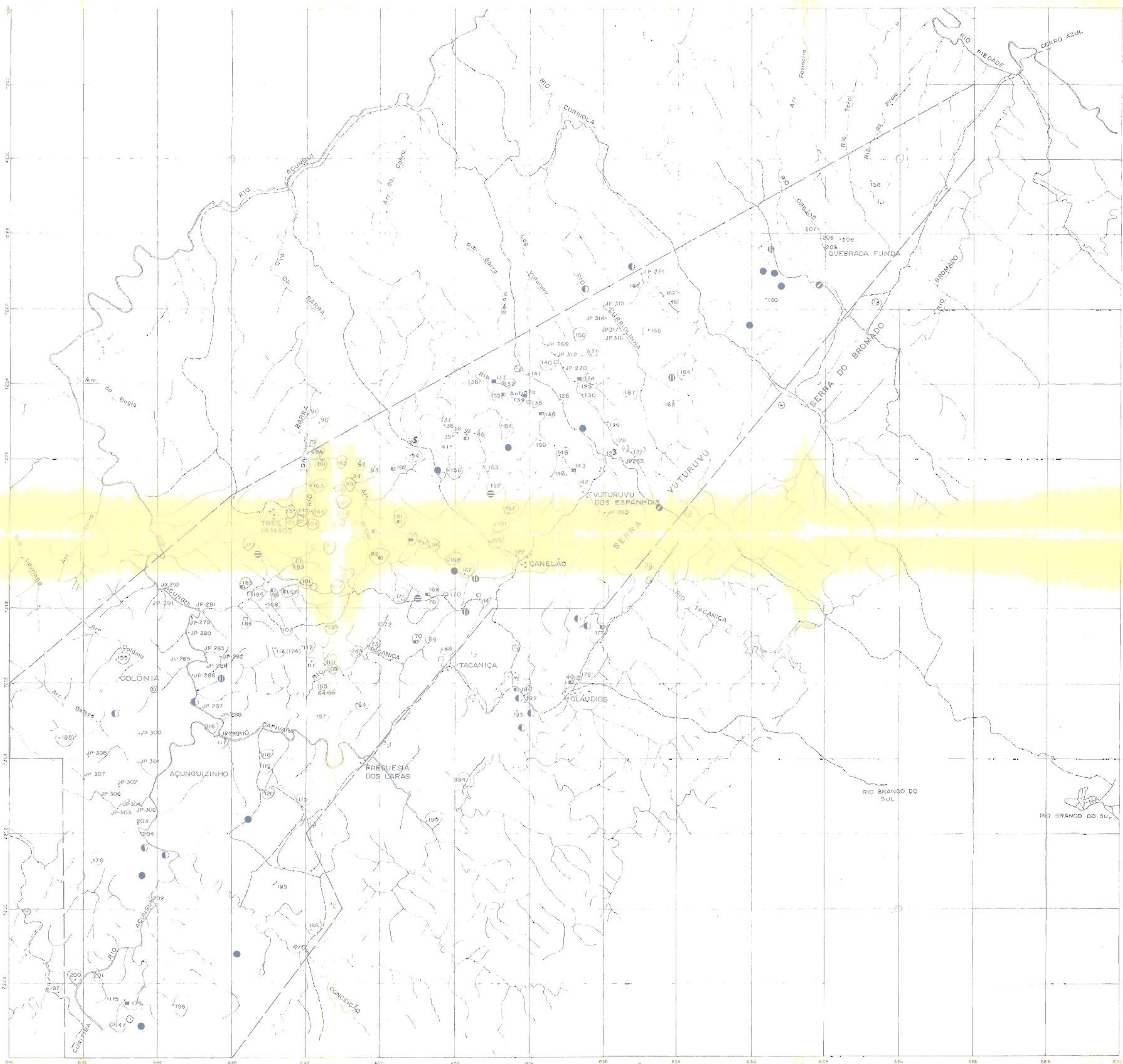
CONVENÇÕES

MINEROPAR

Mission de l'artiste à l'

PROSPECTO ANTINHA

MAPA DE PONTOS



AFLORAMENTOS DESCritos

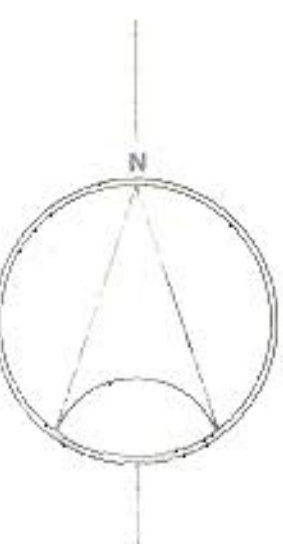
→ 189 °C

AFLORAMENTOS AMOSTRADOS

- [View all posts](#)
- [View posts from me](#)
- [View posts from my friends](#)

AFLCRAIMENTOS PRINCIPAIS NÃO DESCritos

- 01 - CONSTITUIR UNA COMITIVA DE 1000 PERSONAS EN LA PLAZA DE LA LIBERTAD
- 02 - RECLAMAR AL GOBIERNO LA LIBERTAD DE LOS PRESOS POLÍTICOS
- 03 - RECLAMAR AL GOBIERNO LA LIBERTAD DE LOS PRESOS POLÍTICOS Y DEMOCRATICOS
- 04 - RECLAMAR AL GOBIERNO LA LIBERTAD DE LOS PRESOS POLÍTICOS Y DEMOCRATICOS, EXIGIR UNA DICTADURA MILITAR
- 05 - RECLAMAR AL GOBIERNO LA LIBERTAD DE LOS PRESOS POLÍTICOS Y DEMOCRATICOS, EXIGIR UNA DICTADURA MILITAR Y UN GOBIERNO DE CIVILES
- 06 - RECLAMAR AL GOBIERNO LA LIBERTAD DE LOS PRESOS POLÍTICOS Y DEMOCRATICOS, EXIGIR UNA DICTADURA MILITAR Y UN GOBIERNO DE CIVILES
- 07 - RECLAMAR AL GOBIERNO LA LIBERTAD DE LOS PRESOS POLÍTICOS Y DEMOCRATICOS, EXIGIR UNA DICTADURA MILITAR Y UN GOBIERNO DE CIVILES
- 08 - RECLAMAR AL GOBIERNO LA LIBERTAD DE LOS PRESOS POLÍTICOS Y DEMOCRATICOS, EXIGIR UNA DICTADURA MILITAR Y UN GOBIERNO DE CIVILES
- 09 - RECLAMAR AL GOBIERNO LA LIBERTAD DE LOS PRESOS POLÍTICOS Y DEMOCRATICOS, EXIGIR UNA DICTADURA MILITAR Y UN GOBIERNO DE CIVILES
- 10 - RECLAMAR AL GOBIERNO LA LIBERTAD DE LOS PRESOS POLÍTICOS Y DEMOCRATICOS, EXIGIR UNA DICTADURA MILITAR Y UN GOBIERNO DE CIVILES



PERFIS GEOLÓGICOS

PERFIL GEOLÓGICO 01

PONTOS OS-161 e 162

FOTO 51234

DIREÇÃO GERAL DO PERFIL N 40-60W

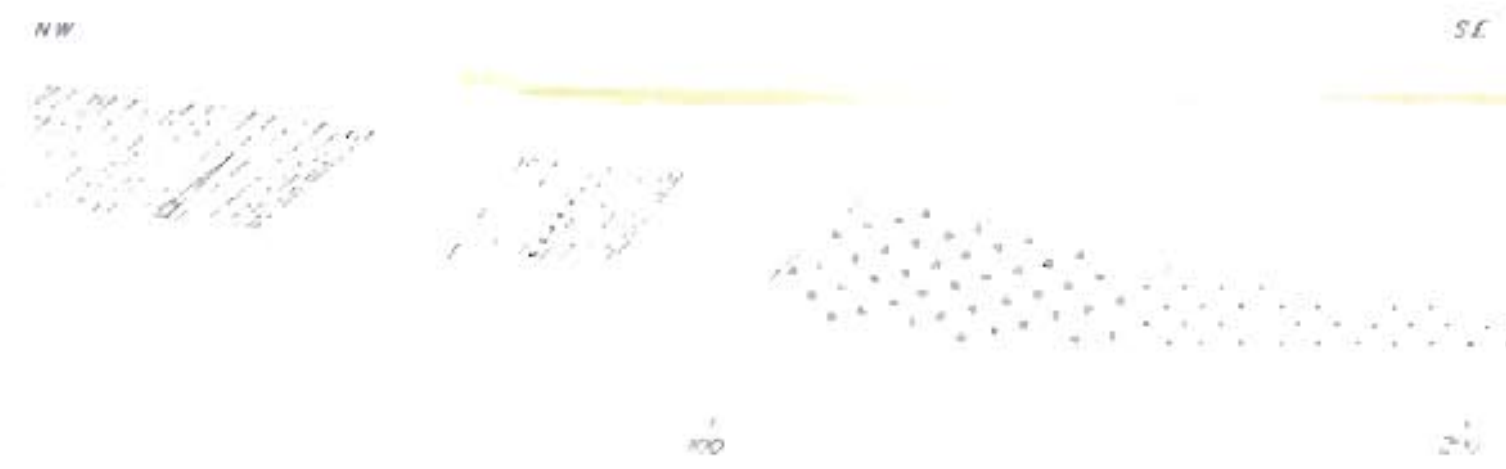


PERFIL GEOLÓGICO 02

PONTO OS-162

FOTO 51235

DIREÇÃO GERAL DO PERFIL N 60W

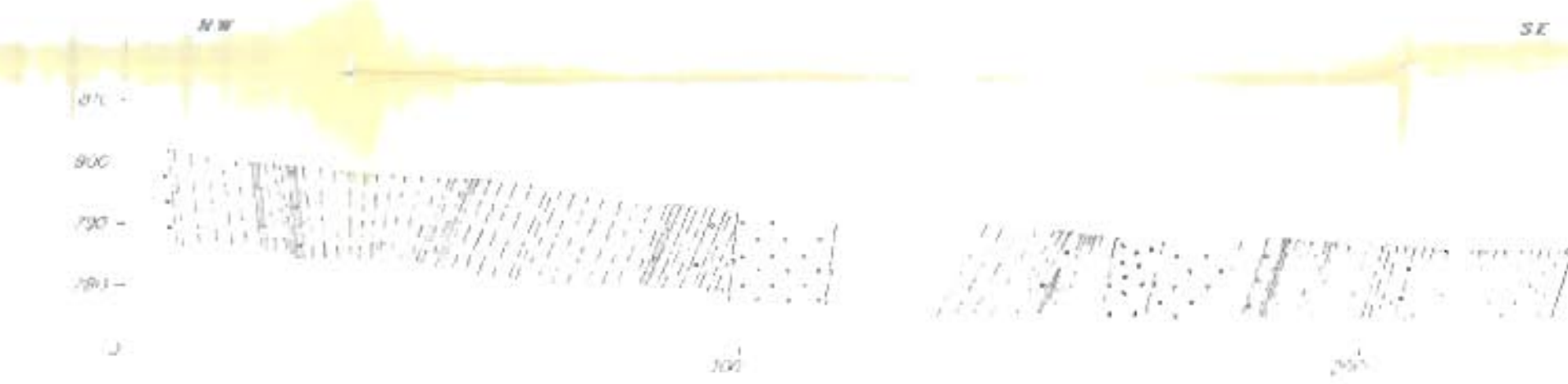


PERFIL GEOLÓGICO 03

PONTO OS-162

FOTO 51236

DIREÇÃO GERAL DO PERFIL N 60W



LEGENDA

- [] ALGARISTOS FINOS A MUITO FINOS
- [] METARENITOS MEDIOS
- [] METARENITOS GRISSEMENTOS
- [] METARENITOS ALGOSQUIMOLIMETATICO
- [] METACONGLOMERADOS, MULTIZ. ARENOSA
- [] METASSILICITOS
- [] METASSILITOS ARENOSES
- [] METASILTOS ALGULOSOS COM METARENITOS FINOS
- [] METARENITOS HOMOGENEOS
- [] METARENITOS CARBONATO/ BALTICO /ARENOSO
- [] METARENITOS (SULFATO/ QUARTZO ARENOSO)
- [] DIABASIOS
- [] BRECHA DE FALHA

MINEROPAR

Minerais do Paraná S.A.



FOTOGRAFIAS

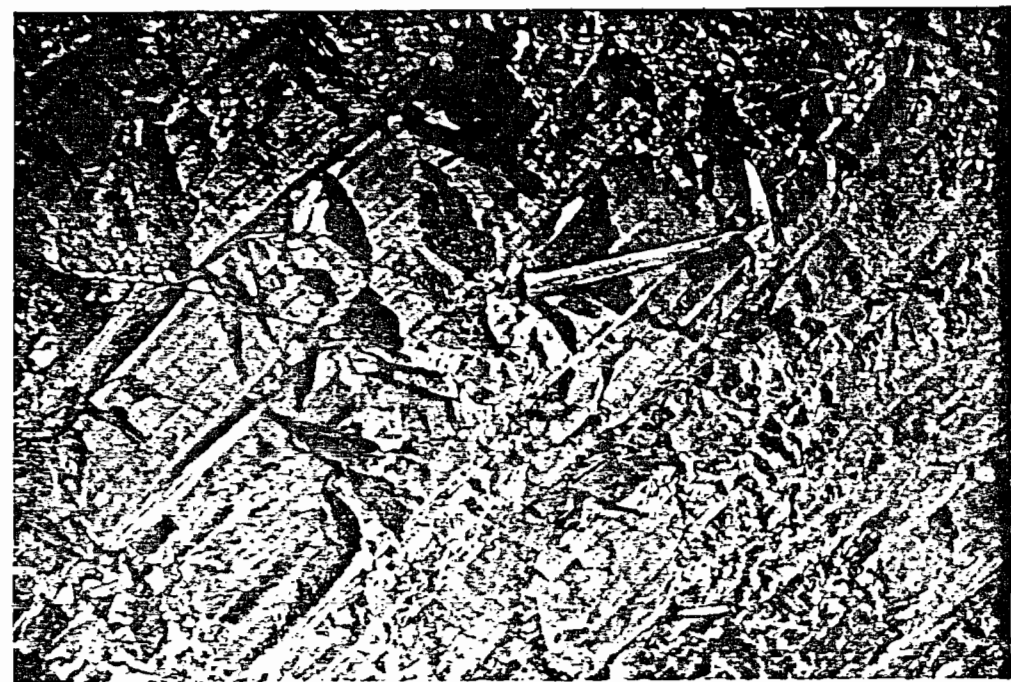


Foto 01 - Afloramento de metarenitos hornfélscicos (Unidade pesaAIII).



Foto 02 - Afloramento de metassiltitos nodulosos (Unidade pesaAII), com mesodobra.

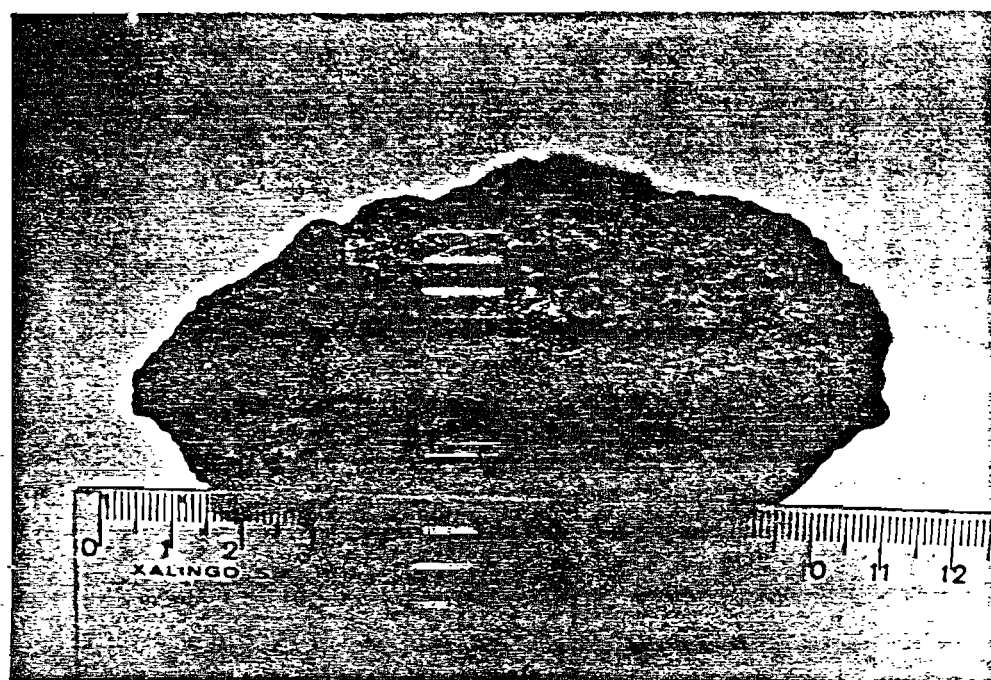


Foto 03 - Conglomerado polimítico, matriz arcosiana, seis
xos de feldspato, quartzito, sericita-xisto, etc.
Unidade Conglomerática (ε ocg), discordante sobre
a Seqüência Antinha e correlacionável à Formação
Camarinha



Foto 04 - Conglomerado arcosiano da Formação Camarinha. Seis
xos de feldspato, quartzo e vulcânicas. (Ver foto 03).

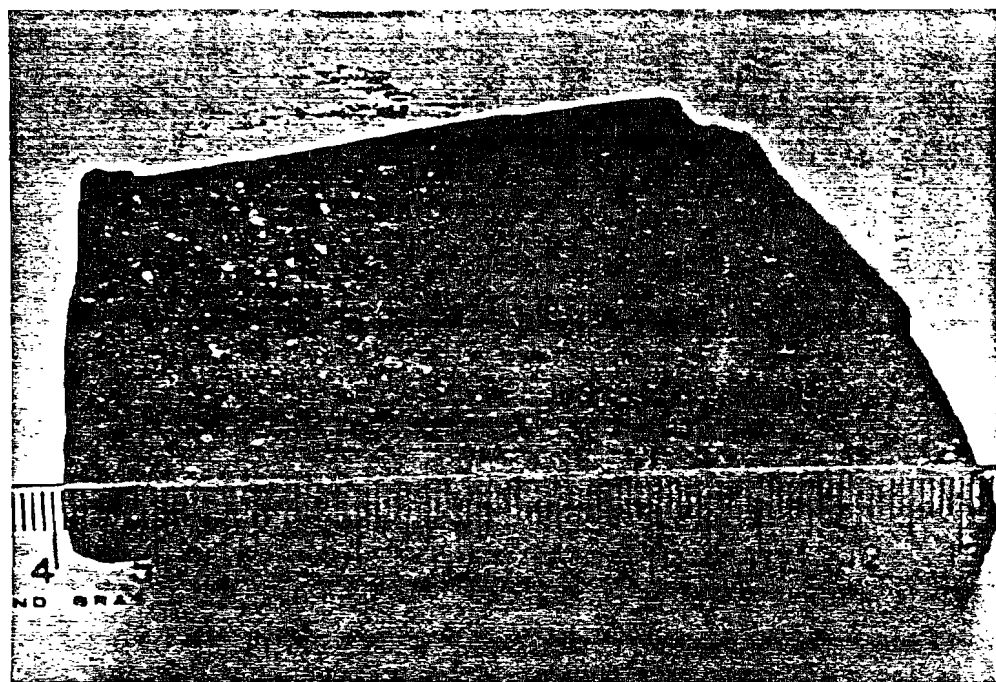


Foto 05 - Metarenitos hornfélscicos (Subunidade pesaAIII).
Notar os cristais de muscovita aleatórios, desenvolvidos por influência termal.

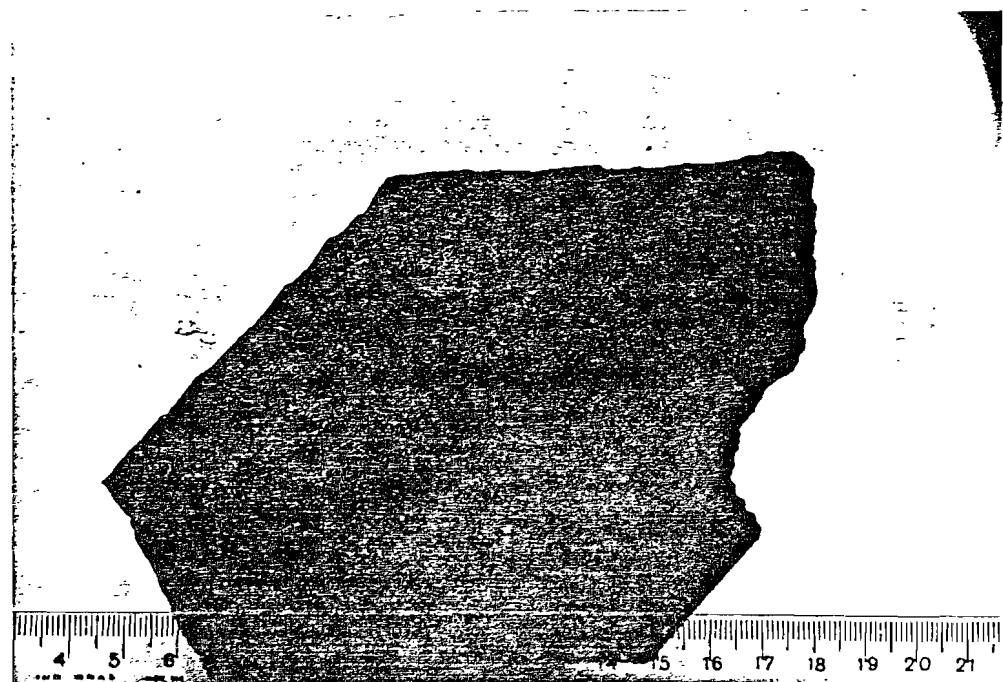


Foto 06 - Metassiltitos nodulosos (Subunidade pesaAII).
Observar as pontuações submilimétricas de clorita.

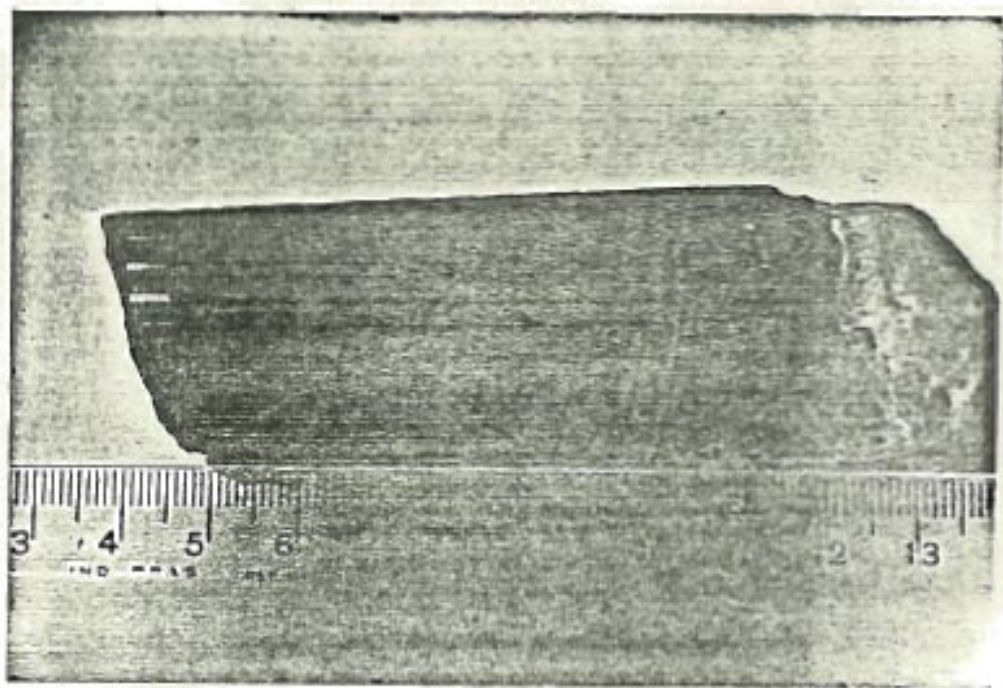


Foto 07 - Metassiltito noduloso, observando-se intercalação de metarenito fino, esbranquiçado, e clivagem ardósiana (S_1), oblíqua a S_0 .

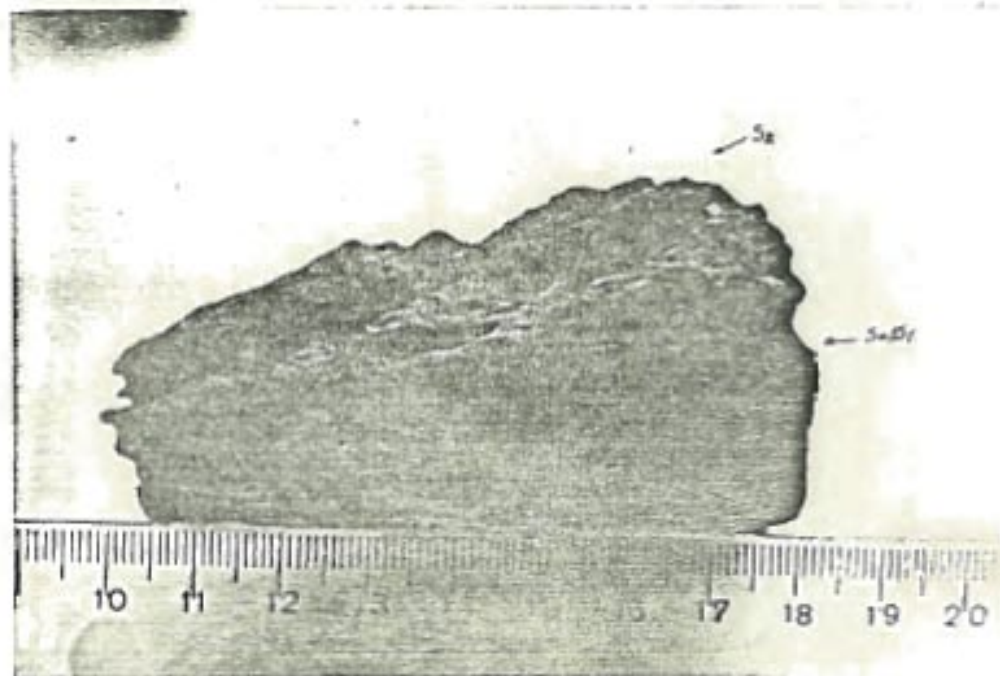


Foto 08 - Intercalação de mármore calcítico e biotita-clorita-xisto, da Formação Água Clara. Na porção xistosa, evidencia-se S_1 e S_2 .

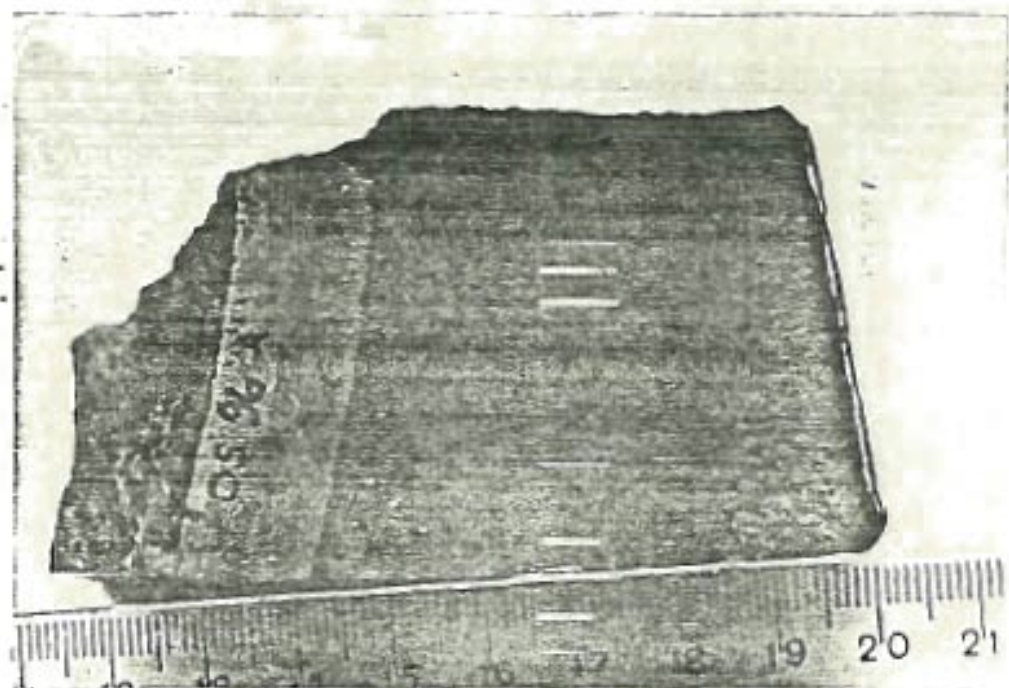


Foto 09 - Metarenito hornfelsico mostrando a microestratificação cruzada.

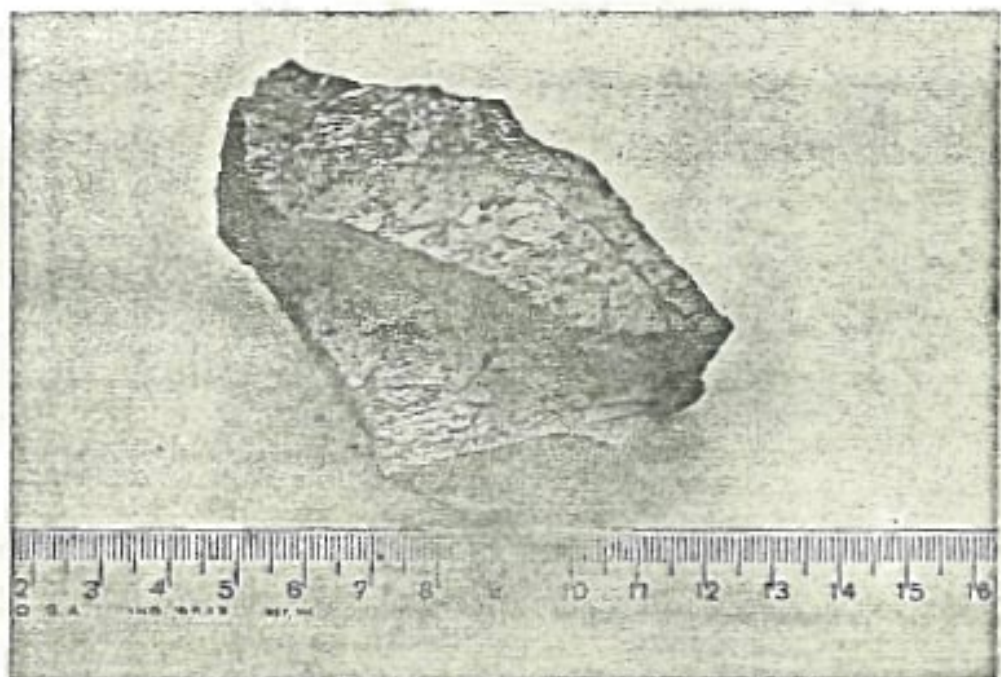


Foto 10 - Metaconglomerado com seixos de quartzito fino, às vezes com formatos angulares (aspecto brecióide), e matriz arenosa e ferruginosa.



Foto 11 - Fotomicrografia de metassiltito (OS-143) cloritóide sincinemático. Mineralogia: sericita, clorita, quartzo, ilmenita e cloritóide (nicos cruzados, 2,5/8x).

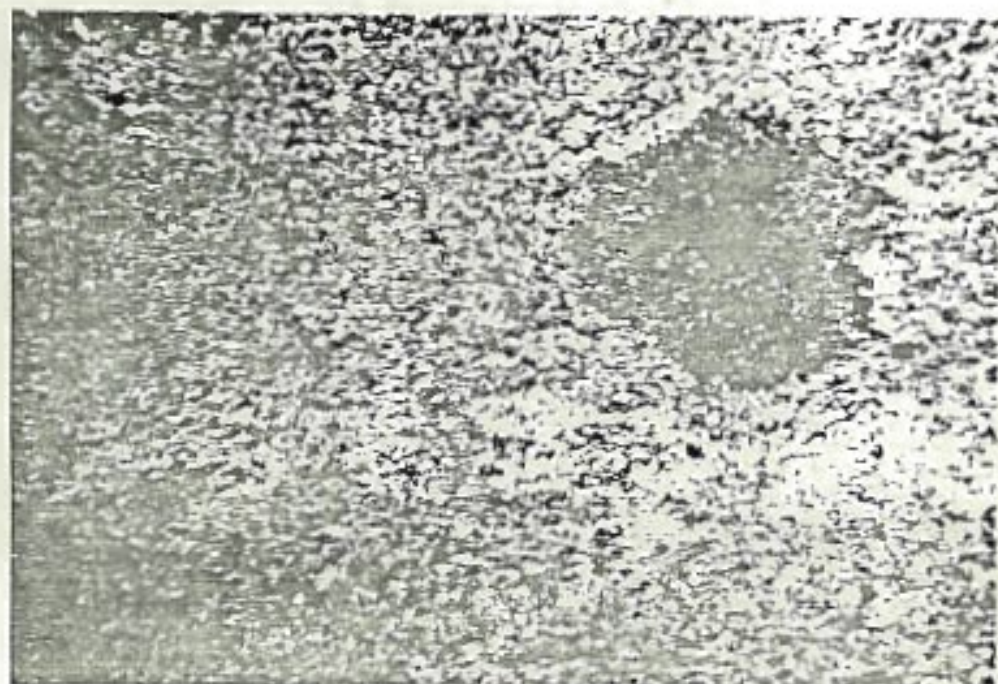


Foto 12 - Fotomicrografia de metassiltito (lâmina OS-133). Cristal de cloritóide com extinção em ampulheta característica. Mineralogia: sericita, quartzo, clorita e cloritóide.

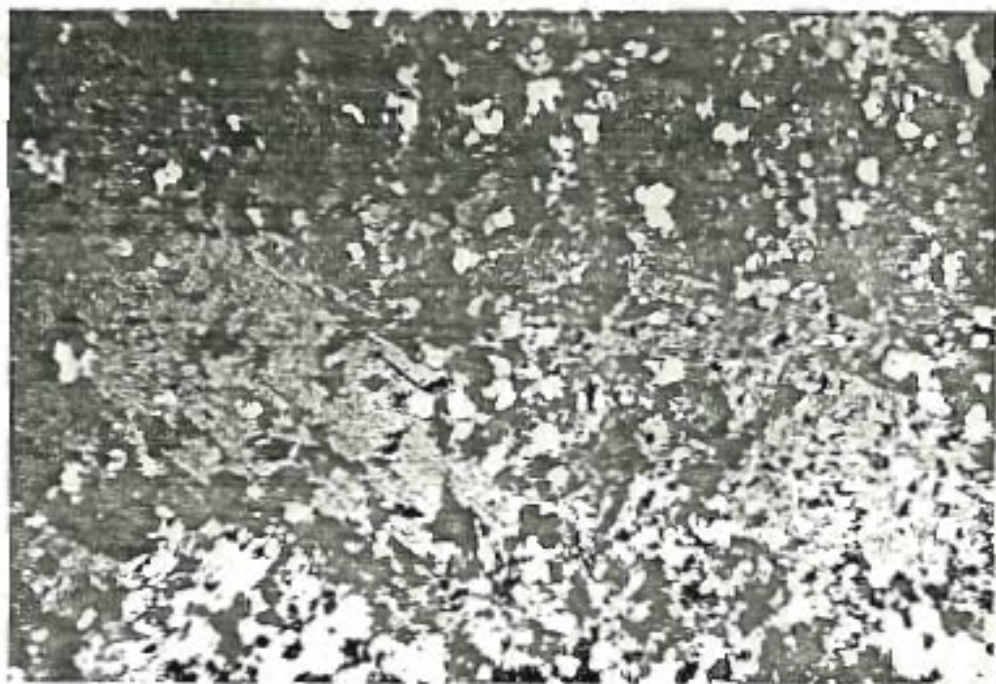


Foto 13 - Fotomicrografia de metarenito hornfelsico (Sub-unidade pesaAIII), lámina OS-99. Cristais de muscovita aleatórios, poiquiloblásticos. Mineralogia: quartzo, muscovita, clorita e sericita. (nicos cruzados, 2,5/8x).

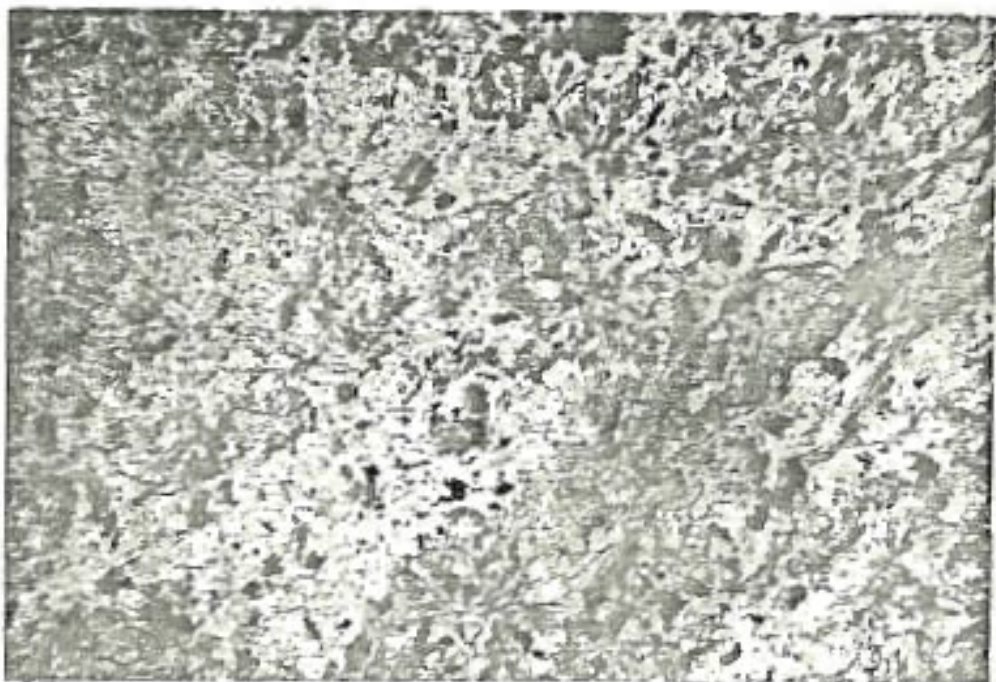


Foto 14 - Fotomicrografia de metassiltito noduloso (lámina OS-87-A). Nódulos de agregadas de clorita e matriz quartzo sericítica. (nicos cruzados, 2,5/8x).

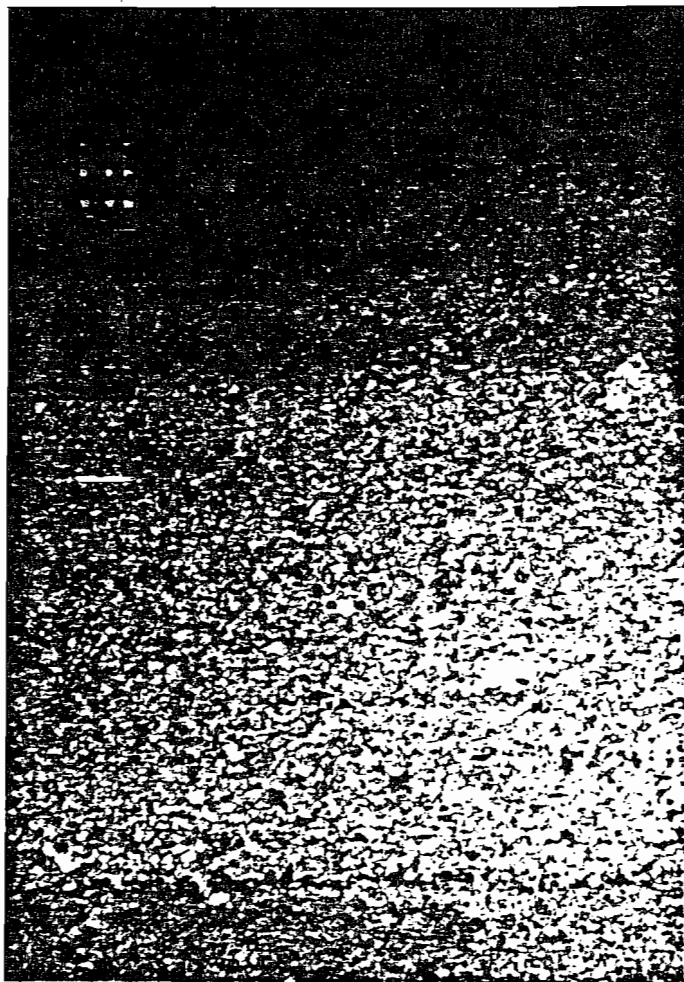


Foto 15 - Fotomicrografia de metassiltito noduloso (lâmina OS-88). Bandamento nítido de fração silte e fração areia. Os nódulos de clorita se restringem a primeira, aparecendo na base da segunda uma concentração de minerais opacos (pesados?) Mineralogia: quartzo, sericita, clorita.

